

GM 45919

RAPPORT DES SONDRAGES EFFECTUES DURANT LA CAMPAGNE D'EXPLORATION 1986 SUR LA PROPRIETE
JOUTEL

Documents complémentaires

Additional Files



Licence



Licence

Cette première page a été ajoutée
au document et ne fait pas partie du
rapport tel que soumis par les auteurs.

Énergie et Ressources
naturelles

Québec 

RESSOURCES VASSAN INC.

(Montréal "VSN")

RAPPORT DES SONDAGES EFFECTUES DURANT

LA CAMPAGNE D'EXPLORATION 1986

SUR LA PROPRIETE JOUHEL

CANTON JOUHEL

RANGS II ET III

Ministère de l'Énergie et des Ressources

Service de la Géoinformation

Date: 22 MAR 1988

No G.M.: 45919



Val d'Or

Le 30 mars 1987

Céline M. Charbonneau

Ingénieure junior

CAMPAGNE D'EXPLORATION 1986, RESSOURCES VASSAN INC.

TABLE DES MATIERES

	PAGE
- Liste des figures.....	III
- Liste des cartes.....	III
- Liste des symboles.....	IV
- Introduction.....	1
- Propriété, localisation et accès.....	3
- Géologie.....	5
- Résultats des sondages: lithologies, altérations, minéralisations.....	8
- Conclusion.....	12
- Recommandations.....	13
- Annexe A: Journaux de sondages.....	15
- Annexe B: Certificats d'analyses.....	80
- Annexe C: Profil des sondages.....	111

CAMPAGNE D'EXPLORATION 1986, RESSOURCES VASSAN INC.

LISTE DES FIGURES

	PAGE
- Figure 1: Localisation de la propriété de Joutel.....	2
- Figure 2: Localisation des claims.....	4
- Figure 3: Géologie régionale.....	6
- Figure 4: Géologie et compilation.....	7

LISTE DES CARTES

- Carte 1: Localisation des forages recommandés	ci-jointe
- Carte 2: Plan de surface Nord (rang III)	ci-jointe
- Carte 3: Plan de surface Sud (rang II)	ci-jointe
- Carte 4: Profil du sondage VJ-1.....	112
- Carte 5: Profil du sondage VJ-2.....	113
- Carte 6: Profil du sondage VJ-3.....	114
- Carte 7: Profil du sondage VJ-4.....	115
- Carte 8: Profil du sondage VJ-6.....	116
- Carte 9: Profil du sondage VJ-7.....	117
- Carte 10: Profil du sondage VJ-8.....	118
- Carte 11: Profil du sondage VJ-18.....	119
- Carte 12: Profil du sondage VJ-19.....	120
- Carte 13: Profil du sondage VJ-20.....	121

CAMPAGNE D'EXPLORATION 1986, RESSOURCES VASSAN INC.

LISTE DES SYMBOLES

a) symboles lithologiques

V	Roches volcaniques indéterminées
V2	Rhyolite
V4	Dacite
V6	Andésite
V7	Basalte
V8	Roches pyroclastiques indéterminées
V9	Tuf
S	Roches sédimentaires indéterminées
M3	Roches hybrides
M7	Gneiss
1G	Granite
1D	Granodiorite
2D	Diorite
3G	Gabbro
3D	Diabase
4P	Péridotite
4S	Serpentinite
mt	Mort-terrain
e	Epidote
+	Fracturé
#	Dyke

CAMPAGNE D'EXPLORATION 1986, RESSOURCES VASSAN INC.

LISTE DES SYMBOLES

Composition a: Felsique à intermédiaire
B: Intermédiaire à mafique
th: Tholéïtique
Qfp: Quartzofeldspathique

b) minéraux

Cp	Chalcopyrite
Mt	Magnétite
Py	Pyrite
Po	Pyrrhotine
Sd	Sidérose, sidérite

c) autres symboles

	Bassin décanteur
	Cours d'eau
	Forage
	Limite de canton
	Mine
	Route
tr	Trace

CAMPAGNE D'EXPLORATION 1986, RESSOURCES VASSAN INC.

INTRODUCTION

Ce rapport a pour but de donner un compte rendu de la campagne de forages 1986 effectués sur la propriété Joutel et de faire les recommandations pour la poursuite des travaux.

Cette propriété est située, approximativement, à cent trente-cinq kilomètres (135 km) au nord d'Amos dans le canton Joutel (Figure 1). Le contexte géologique est semblable à celui de la mine d'or Agnico-Eagle et des anciens producteurs de métaux de base, Poirier et Joutel, qui sont situés dans un rayon de moins de deux kilomètres (2 km) de la propriété.

Les sondages effectués lors de la campagne d'exploration 1986 ont permis de mieux saisir la structure géologique. Cependant, les teneurs aurifères obtenues sont faibles.

Il est recommandé de poursuivre les travaux d'exploration. La première phase des recommandations comprend la coupe de lignes, les levés géologique et géophysique (P.P.), ainsi que cinq (5) forages au diamant. La deuxième phase comprend dix (10) forages au diamant additionnels.

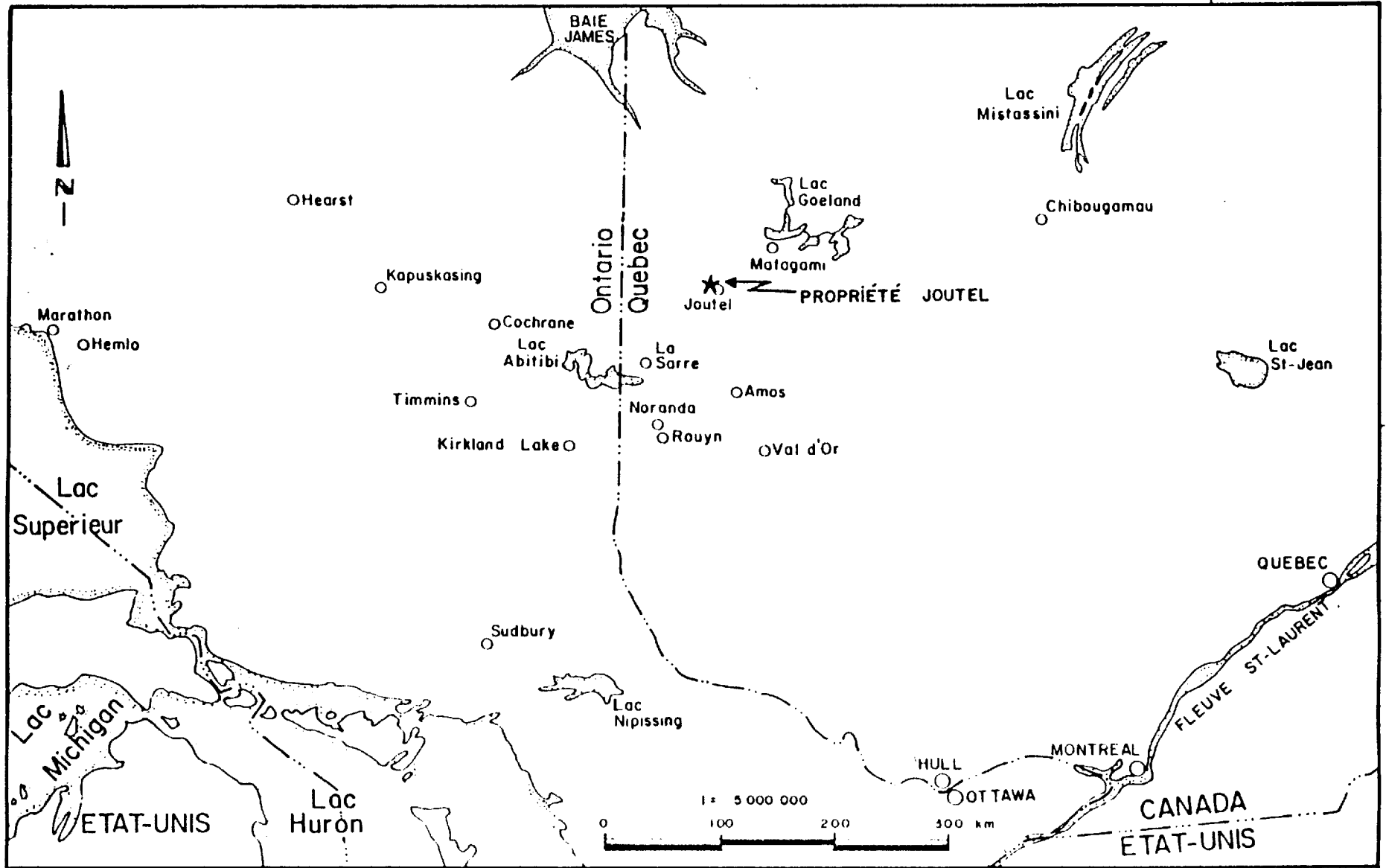


Figure. 1

RESSOURCES VASSAN INC.
 LOCALISATION DE LA PROPRIÉTÉ DE JOUTEL.

CAMPAGNE D'EXPLORATION 1986, RESSOURCES VASSAN INC.

PROPRIETE, LOCALISATION ET ACCES

La propriété "Joutel" est située dans le canton Joutel, comté d'Abitibi-Est. Elle est à environ cent trente-cinq kilomètres (135 km) au nord d'Amos. Elle est facilement accessible par la route provinciale cent neuf (109) menant à Joutel et par la route grave-lée toutes saisons qui se dirige vers La Sarre.

La propriété est constituée de seize (16) claims d'une superficie globale de deux cent quarante-sept hectares (247 ha) (Figure 2).

Les permis de mise en valeur sont les suivants:

Permis	Claims	Rangs	Superficie (hectares)	Date exp.
436987	1 à 5	III	80	04/12/87
436988	1 à 3	II-III	39	05/12/87
436989	1 à 5	II	80	06/12/87
436990	2-3-5	II	48	07/12/87
	<u>16</u>		<u>247</u>	

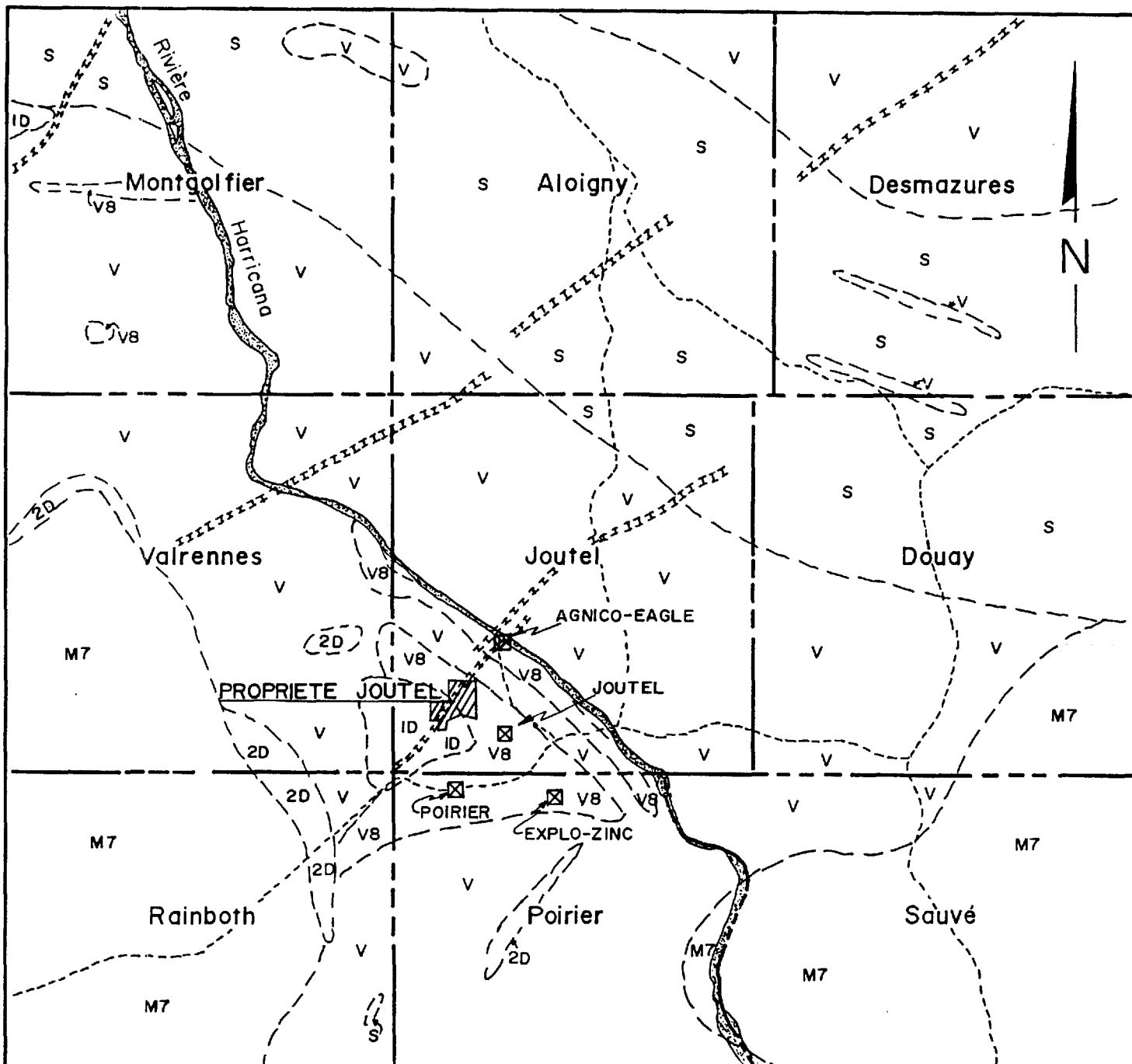
CAMPAGNE D'EXPLORATION 1986, RESSOURCES VASSAN INC.

GEOLOGIE

Les roches du sous-sol de la région font partie de la zone septentrionale de la ceinture de l'Abitibi de la province structurale du Supérieur. Elles sont presque toutes du Précambrien inférieur (Archéen), à l'exception des dykes de diabase et des intrusions granitiques qui datent du Précambrien supérieur (Protérozoïque) (Figure 3).

Le sous-sol est constitué principalement de laves mafiques. Le nord-est est recouvert de roches sédimentaires, tandis que dans le sud-est, les roches rhyolitiques et pyroclastiques prédominent. Une intrusion granitique a percé à la limite nord-ouest du canton. Quelques dykes de diabase, ayant un azimut variant entre trente degrés (030°) et cinquante-cinq degrés (055°), traversent la géologie qui est nord-ouest. Un seul dyke d'importance, orienté est-ouest, a été localisé à la limite sud du canton.

La propriété est constituée d'une intrusion granitique dans sa partie sud-ouest. La partie centrale est composée principalement de pyroclastites, de rhyolites et de dacites avec quelques coulées d'andésite-basalte, (tandis que) dans la partie nord, l'andésite et le basalte dominant avec quelques coulées mafiques. Quelques intrusifs felsiques coupent les lithologies. L'ensemble est recoupé par un dyke de diabase ayant un azimut d'environ quarante-cinq degrés (045°) et rejoignant les mines Agnico-Eagle (Figure 4).



ECHELLE 1:250 000

Modifié du MERQ
DPV-744



Figure: 3

RESSOURCES VASSAN INC.
PROPRIETE JOUTEL
GEOLOGIE REGIONALE

CAMPAGNE D'EXPLORATION 1986, RESSOURCES VASSAN INC.

RESULTATS DES SONDAGES

Lithologies, altérations, minéralisations

Les forages de la campagne d'exploration 1986 ont été effectués dans le but de sonder les anomalies géophysiques repérées lors des levés magnétiques, électromagnétiques (NAA et NSS) et de polarisation provoquée.

- VJ-1 Le sondage VJ-1 a percé dans un basalte à tendance tholéïtique, entrecoupé de quelques courtes bandes d'andésite, de dacite et/ou de diorite. Deux (2) dykes consécutifs ont également été identifiés de quatre cent seize pieds (416') à quatre cent soixante-cinq pieds (465'). Le premier, d'une épaisseur de sept pieds (7'), est de composition quartzofeldspathique; le deuxième, de composition granodioritique, est silicifié. L'altération est ponctuelle et consiste en chloritisation. La minéralisation est presque inexistante, sauf dans le dyke quartzofeldspathique, qui renferme de un à cinq pour-cent (1-5%) de chalcopryrite.
- VJ-2 Le sondage VJ-2 a traversé une séquence de diorite-andésite-dacite. En général, l'ensemble de la séquence a de nombreuses veinules de sidérite-quartz et est altéré en limonite, goethite et épidote. Plusieurs sections sont modérément à fortement fracturées. La diorite et l'andésite peuvent contenir sur quelques bandes, de un à dix pour-cent (1-10%) de grains de magnétite. La diorite a également quelques sections avec un à trois pour-cent (1-3%) de pyrite, et quelques veinules d'hématite (en profondeur surtout).
- VJ-3 Le sondage VJ-3 a été effectué dans le prolongement du sondage précédent. La séquence andésite-dacite-diorite se poursuit dans ce sondage. Une courte séquence (dix pieds six pouces; 10.5') de tuf felsique fut rencontrée à huit cent soixante-six pieds six pouces (866.5'). Quelques veinules de quartz-calcite avec ou sans sidérite sont présentes presque tout le long du sondage. L'altération est irrégulière et moins prononcée que dans la séquence rencontrée lors du sondage VJ-2.

CAMPAGNE D'EXPLORATION 1986, RESSOURCES VASSAN INC.

RESULTATS DES SONDAGES

Lithologies, altérations, minéralisations

Elle consiste principalement en limonite et épidote. La fracturation est également moins généralisée et est présente surtout en surface. La minéralisation est très faible. Quelques bandes d'andésite et de diorite contiennent de trois à cinq pour-cent (3-5%) de grains de magnétite.

- VJ-4 Le sondage VJ-4 fait ressortir une séquence de basalte-andésite et diorite, recoupée par quelques bandes de tuf intermédiaire à felsique. Quelques minces coulées de dacite traversent cette séquence. Les volcanites sont toutes altérées en chlorite, épidote et limonite, exception faite de la dacite qui ne montre aucune altération particulière. La pyrite, rencontrée généralement en trace, s'observe aussi sur de courtes sections à plus ou moins cinq pour-cent ($\pm 5\%$); parfois avec de la chalcoppyrite. La magnétite est présente principalement dans les sections volcaniques mafiques à intermédiaires. Sa concentration varie localement de trace à cinq pour-cent (5%). Une courte section de neuf pieds (9') a retourné quelques faibles teneurs en or dans le tuf intermédiaire.
- VJ-6 Le forage VJ-6 montre principalement une alternance d'andésite et de diorite, coupée par quelques bandes de tuf felsique et de dacite. Ces roches sont toutes, à divers degrés, altérées en épidote. Cependant, la diorite, en plus de l'épidote, s'altère en spécularite et goethite. La minéralisation consiste en pyrite et magnétite: on observe la première principalement en trace, localement avec quelques courtes sections contenant environ cinq pour-cent (5%). La seconde apparaît à partir d'une profondeur de trois cent soixante-dix pieds (370') à environ deux pour-cent (2%).
- VJ-7 Le sondage VJ-7 fut effectué à environ quatre cent soixante-quinze pieds (475') du sondage précédent et parallèlement à celui-ci.

CAMPAGNE D'EXPLORATION 1986, RESSOURCES VASSAN INC.

RESULTATS DES SONDAGES

Lithologies, altérations, minéralisations

Pour sa part, ce sondage a rencontré une alternance de coulées basaltiques et dacitiques jusqu'au dyke de diabase. Le dyke a été traversé de trois cents pieds (300') à sept cent cinquante-six pieds (756'). Son centre contient une bande d'andésite et une autre, petite, de tuf felsique. Après le dyke, une coulée de dacite précède la diorite. L'ensemble a été faiblement altéré en épidote (sauf la dacite qui ne semble pas affectée). Cependant, le dyke dans sa partie supérieure est fortement altéré en chlorite et épidote et sa partie inférieure est plus fracturée et moins altérée. La minéralisation est presque inexistante en surface. Elle apparaît dans les volcanites contenues dans le dyke. En effet, l'andésite contient de un à cinq pour-cent (1-5%) de magnétite, certaines sections pouvant atteindre quinze pour-cent (15%). Quelques bandes de un à cinq centimètres (1-5 cm) de magnétite massive y furent identifiées. Le tuf felsique ainsi que la bande de dacite inférieure contiennent de un à deux pour-cent (1-2%) de pyrite. La magnétite, avec une concentration d'environ deux pour-cent (2%), réapparaît à partir de huit cent soixante pieds (860').

VJ-8 Le sondage VJ-8 a rencontré une alternance de rhyolite et de tuf felsique. Cette alternance est rompue par une bande andésitique et une dioritique. L'altération en épidote est faible et se concentre en surface, sauf pour la diorite qui se trouve en profondeur. L'ensemble de la séquence est parcouru par des veinules de quartz-sidérite qui sont altérées en limonite-goethite. La faible minéralisation en pyrite est associée aux veinules de quartz-sidérite. Le dernier banc de tuf felsique renferme plus ou moins deux pour-cent ($\pm 2\%$) de pyrite disséminée. Les teneurs en or sont restées faibles.

VJ-18 Le sondage VJ-18 a percé dans une séquence d'andésite-basalte, de tuf mafique et de dacite.

CAMPAGNE D'EXPLORATION 1986, RESSOURCES VASSAN INC.

RESULTATS DES SONDAGES

Lithologies, altérations, minéralisations

Une mince section de mylonite suivie d'une brèche (onze pieds (11') chacune) ont été rencontrées à sept cent cinquante-six pieds (756'). Les tufs ont de nombreuses veinules de quartz-calcite. L'andésite de surface est très altérée en épidote et en limonite-goethite. Pour le reste de la séquence, l'altération est faible et consiste en épidote. Encore là, la dacite ne montre pas d'altération. La minéralisation est inexistante, sauf en profondeur, où les bandes d'andésite-basalte peuvent contenir des sections contenant: plus ou moins deux pour-cent ($\pm 2\%$) de pyrite et/ou plus ou moins trois pour-cent ($\pm 3\%$) de spécularite et/ou plus ou moins cinq pour-cent ($\pm 5\%$) de magnétite.

VJ-19 Le sondage VJ-19 présente une séquence de basalte-andésite, coupée par quelques bandes de dacite et une de tuf intermédiaire. D'une manière générale, l'épidote est l'altération observée dans toutes les roches; alors que la goethite se trouve seulement dans l'andésite et la dacite. La minéralisation, en trace, est composée de pyrite, chalcoppyrite et magnétite; cette dernière peut atteindre localement une concentration de plus ou moins cinq pour-cent ($\pm 5\%$).

VJ-20 Le sondage VJ-20 présente une alternance de dacite et de basalte-andésite, recoupée par quelques bandes de tuf. La composition du tuf varie d'intermédiaire à mafique. L'altération est faible en épidote. Elle est généralisée dans toute la séquence, exception faite de la dacite qui ne montre pas d'altération, sauf une bande qui est faiblement altérée en goethite. On observe peu de minéralisation: quelques traces de pyrite dans la dacite et l'andésite avec un peu de chalcoppyrite dans cette dernière. La spécularite, généralement en trace, atteint parfois plus ou moins trois pour-cent ($\pm 3\%$) dans l'andésite-basalte et plus ou moins dix pour-cent ($\pm 10\%$) dans le tuf.

CAMPAGNE D'EXPLORATION 1986, RESSOURCES VASSAN INC.

CONCLUSION

La campagne d'exploration 1986 n'a pas retourné les teneurs aurifères escomptées, mais a permis de mieux connaître la géologie de la propriété "Joutel". Le potentiel économique de cette propriété est mis en évidence par son contexte géologique, similaire à celui de la mine d'or Agnico-Eagle et des anciens producteurs de métaux de base Joutel et Poirier, qui sont situés à proximité de la propriété.

Signé à Val d'Or
Le 30 mars 1987


Céline M. Charbonneau
Ingénieure junior

CAMPAGNE D'EXPLORATION 1986, RESSOURCES VASSAN INC.

RECOMMANDATIONS

Un programme d'exploration, au coût de cinq cents mille dollars (500,000\$) est recommandé pour cette propriété du canton "Joutel".

La première phase d'un coût de deux cents mille dollars (200,000\$) consistera en coupe de lignes, en levés géophysique (P.P.) et géologique et en forage sur les cibles alors définies.

La seconde, au coût de trois cents mille dollars (300,000\$) consistera en un ajout de deux mille neuf cents mètres (2,900 m) de forage. Cette deuxième phase aura pour but de tester les anomalies géophysiques et les structures géologiques intéressantes.

Un estimé des coûts pour l'exécution d'un tel programme est présenté à la section suivante.

PHASE I

Coupe de lignes nord-est-sud-ouest, total 20 km à 215\$/km.	4,300 \$
Levé de polarisation provoquée, x = 50 m, n = 1, 2, 3, total de 20 km à 900\$/km.	18,000 \$
Levé géologique détaillé de toute la propriété incluant: salaire d'un géologue et d'un assistant, transport, pension, matériel, plans, cartes et rapport, durant 10 jours à 600\$/jour.	6,000 \$
Forages au diamant à contrat, 5 trous pour un total de 1,600 mètres à 90\$/m, incluant tous les frais plus les items à prix variable: eau, déplacements, supervision, journaux de sondages, manipulation, fendage et analyses.	144,000 \$
Imprévus (±15%)	27,700 \$
TOTAL PHASE I	<hr/> 200,000 \$

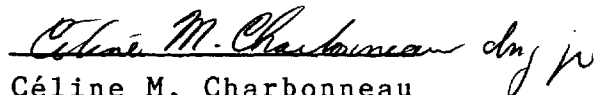
CAMPAGNE D'EXPLORATION 1986, RESSOURCES VASSAN INC.

RECOMMANDATIONS

PHASE II

Forages au diamant à contrat, 10 trous totalisant 2,900 mètres à 90\$/m, incluant tous les frais plus les items à prix variable: eau, déplacements, supervision, journaux de sondages, manipulation, fendage et analyses.	261,000 \$
Imprévus (±15%)	39,000 \$
TOTAL PHASE II	<hr/> 300,000 \$
TOTAL DES PHASES I ET II	<hr/> 500,000 \$

Signé à Val d'Or
Le 30 mars 1987


Céline M. Charbonneau
Ingénieure junior

ANNEXE A
Journaux de sondages

RESSOURCES VASSAN INC.
 400, 3^e AVENUE
 VAL D'OR, Qc
 J9P 1R9

JOURNAL DE SONDAGE AU DIAMANT

TERRAIN: Joutel
 CAIM No: 436987-1-2
 ELEVATION ORIFICE: Surface
 ANGLE: 0' = 50° 200' = 53°
 400' = 52°

CANTON: Joutel
 RANG: III LOT No:--
 ORIENTATION: 180°N
 LONGUEUR TOTALE: 506'
 COORDONNEES ORIFICE:
 LAT: 3+00E DEP: 7+25N

TROU No: VJ-1
 FEUILLE No: 1 de 10
 COMMENCE LE 22/02/86
 TERMINE LE 23/02/86
 JOURNAL PAR C.Charbonneau

CAROTTE DE	A	DESCRIPTION	NO	ECHANTILLON		ANALYSE			
				DE	A	LONG	Au/t	Ag/t	Cu
0	54	Mort-terrain							
54	140	Basalte tholéïtique, vert foncé; chloritisé; avec sections andésitiques; <1% Py A 54.5 veinule de quartz; ¼"; ±25°/axe; <1% Py A 54.6 veinule de quartz; ¼"; ±30°/axe; cime de magnétite <1% A 55.5 veinule de quartz; 1/8"; ±45°/axe A 57 veinule de quartz longitudinale ¼" A 59.9 (±45°/axe); 60.8 (±30°/axe) veinules de quartz de 1/8" A 61 section silicifiée de 16783 3"; ±45°/axe De 63 à 64 veinule de quartz parallèle à l'axe; 1/8" A 66.1 (1/8"); 66.2 (½") veinules de quartz; ±40°/axe A 68.5 veinule de quartz de ½"; perpendiculaire à l'axe De 68.5 à 69.5 veinule de quartz; 1/8"; parallèle à l'axe							
			16783	61	62	1'		tr	
			16784	66	71	5'		tr	

TROU No: VJ-1
FEUILLE No: 2 de 10

CAROTTE DE A	DESCRIPTION	NO	ECHANTILLON DE A	ANALYSE LONG Au/t Ag/t Cu
	De 70 à 71.5 section grano- dioritique avec quelques cimes de Py; <1% Py			
	De 71.5 à 72.8 section andésitique silicifiée avec cimes de Py; <1% Py			
	A 72.8 veinule de quartz; $\frac{1}{4}$ "; $\pm 30^\circ$ /axe			
	A 74.2 veinule de quartz parallèle à l'axe de $\frac{1}{8}$ "			
	A 75 veinule de quartz; $\pm 30^\circ$ /axe; $1 \frac{1}{2}$ "			
	A 75.2; 75.6 veinules de quartz; $\frac{1}{4}$ "; $\pm 80^\circ$ /axe			
	A 76.1 veinule de quartz de $\frac{1}{8}$ "; perpendiculaire à l'axe			
	De 76.1 à 78.5 section gabbroïque silicifiée			
	A 79 veinule de quartz; $\pm 30^\circ$ /axe; $\frac{1}{2}$ "			
	A 79.3 ($\frac{1}{4}$ "); 81.5 ($\frac{1}{8}$) veinules de quartz $\pm 45^\circ$ /axe			
	A 82; 82.6; 82.8 veinules de quartz; $\frac{1}{8}$ "; $\pm 30^\circ$ /axe			
	A 83 ($\frac{1}{8}$ "); 83.4 ($\frac{1}{4}$ "); 83.8 ($\frac{1}{4}$) veinules de quartz; $\pm 45^\circ$ /axe			
	A 84 série de veinules de quartz; $\pm 30^\circ$ /axe; sur 3"			
	A 86.3 veinule de quartz de $\frac{1}{2}$ "			
	A 87; 87.2; 89.3; 90 veinules de quartz; $\frac{1}{4}$ "			
	A 90.6 veinule de quartz- tourmaline; $\frac{1}{4}$ "; $\pm 30^\circ$ /axe			
	A 91.4 ($\frac{1}{8}$ "); 93 ($\frac{1}{2}$) veinules de quartz; $\pm 45^\circ$ /axe			
	A 93.5 amas de quartz			
	A 94 zone très altérée			
	A 95.3 ($\frac{1}{2}$ "); 95.5 ($\frac{1}{8}$); 95.6 ($\frac{1}{8}$ "); 95.9 ($\frac{1}{2}$) veinules de quartz à $\pm 45^\circ$ /axe			
	De 96 à 97.5 veinule de quartz-bleu $\frac{1}{4}$ "; parallèle à l'axe			
	A 98 veinule de quartz; $\frac{1}{2}$ "; $\pm 45^\circ$ /axe			

CAROTTE DE A	DESCRIPTION	NO	ECHANTILLON DE A	ANALYSE LONG Au/t Ag/t Cu
	A 101.6 ($\pm 50^\circ$ /axe); 103 ($\pm 30^\circ$ /axe); veinules de quartz 1/8"			
	A 103.6; 103.7; 104; 104.1; 104.7 veinules de quartz; 1/8"; $\pm 50^\circ$ /axe			
	A 105 ($\pm 30^\circ$ /axe); 105.9 ($\pm 20^\circ$ /axe) veinules de quartz; 1/8"			
	A 108.6 veinule de quartz; 1/8"; $\pm 45^\circ$ /axe			
	A 109.5 veinule de quartz; 1/2"; perpendiculaire à l'axe			
	A 110; 111.5 veinules de quartz; 1/8"; $\pm 45^\circ$ /axe			
	A 112.5; 112.8; 113.8 veinules de quartz; 1/4"; $\pm 30^\circ$ /axe			
	De 114.5 à 119 section andésitique silicifiée			
	A 116.1 veinule de quartz; 1/4"; $\pm 45^\circ$ /axe			
	A 120.4; 121; 121.1; 121.4; 121.5; 122.3; 122.6; 122.8; 123.2; 124.5; 125; veinules de quartz			
	A 125.3 veinule de quartz-tourmaline			
	A 125.4; 125.6 veinules de quartz			
	A 127.3 veinule de quartz-tourmaline; $\pm 45^\circ$ /axe; 1/2"			
	A 128.8; 129.8 veinules de quartz; 1/4" perpendiculaire à l'axe			
	A 130 section de quartz de 2"; <1% Py			
	A 131.5 cime de Py			
	A 133; 136; 137; 137.6; 138.5; 138.8 veinules de quartz; 1/4"; $\pm 45^\circ$ /axe			

CAROTTE DE	A	DESCRIPTION	NO	ECHANTILLON		LONG	ANALYSE			
				DE	A		Au/t	Ag/t	Cu	
140	159	Diorite/gabbro A 140.5; 140.7; 140.8; 141; 141.1; 141.6; 142; 142.8; 142.9; 143.2; 144.3; 144.9; 145.2; 145.6; 146; 148; 148.6; 149; 150.6; 151.2; 152.5; veinules de quartz A 153 ($\frac{1}{4}$ "); 153.3 ($\frac{1}{4}$ "); 153.4 (1"); 153.5 (1 $\frac{1}{4}$ "); 153.7 ($\frac{1}{4}$ "); 153.8 (1"); 154 (2"); veinules de quartz perpendi- culaire à l'axe A 154.2 chert de 4" avec veinules de quartz et magnétite A 156.1 ($\frac{1}{4}$ "); 156.2 (3/4"); 156.8 ($\frac{1}{2}$ "); 157 ($\frac{1}{2}$ "); 157.5 ($\frac{1}{4}$ "); 158.1 ($\frac{1}{2}$ "); 158.2 ($\frac{1}{4}$ "); 158.5 ($\frac{1}{4}$) veinules de quartz A 158.9 veinule de quartz- rouille; <1% Py	16785	151	156	5'	tr			
159	161	Andésite verte pâle; <1% Py fine A 159 zone de quartz de 1 $\frac{1}{2}$ "; <1% Py								
151	269.5	Basalte tholéïtique A 161.6; 165.5; 166.1; 167.6; 170; 171; 172; 173.5; 174.6 veinules de quartz De 175.7 à 176.2 section quartzeuse A 177.8; 178.5; 179; 180; 180.7; 181.2; 181.6; 182.2; 182.3; 182.6; 183.6 ($\frac{1}{4}$ "); 184; veinules de quartz De 184.9 à 186.8 zone quartzeuse avec tourmaline De 187 à 269.5 très chlori- tisé A 187; 187.3; 187.6; 188; 189 ($\frac{1}{4}$ "); 190.1 ($\frac{1}{2}$ "); 191.6; 191.7; 194; 196.7 (3"); 198.5; 199; de 199.3 à 200; 200.4 veinules de quartz A 201 veinule de quartz; 3/4"; $\pm 30^\circ$ /axe; <1% Py	16786	185	187	2'	tr			
			16787	196	198	2'	tr			

TROU No: VJ-1
FEUILLE No: 5 de 10

CAROTTE DE A	DESCRIPTION	NO	ECHANTILLON DE A	LONG	ANALYSE Au/t Ag/t Cu
	A 201.8 veinule de quartz; 1/8"; ±45°/axe				
	A 203.3 veinule de quartz				
	De 204.8 à 214 zone quartzreuse hétérogène	16788	204.8 209.8	5'	tr
	A 218.6; 218.7; 220; 220.6; 222; veinules de quartz; 1/8"	16789	209.8 214.8	5'	tr
	A 222.3 veine de quartz laiteux de 3/4"; ±30°/axe	16790	222 225	3'	tr
	A 222.8 veinule de quartz; 1/4"; ±45°/axe				
	De 224 à 224.9 section quartzreuse				
	A 228 (1/8"); 228.8 (1/4") veinules de quartz; ±30°/axe				
	A 229.5; 230; 232; 232.8; 233; 233.2; 238; 238.2 veinules de quartz; 1/8"				
	A 247; 248.5 sections silicifiées de 3"				
	A 249.5; 250; veinules de quartz				
	A 252.1 veinule de quartz; 3/4"; ±50°/axe				
	A 254.3 veinule de quartz; 1/4"; ±30°/axe				
	A 256.2 veinule de quartz longitudinale de 1/8"				
	De 259 à 261 veinule de quartz longitudinale de 1/4"				
	A 262.2; 263.5; 265; veinules de quartz; 1/4"; ±45°/axe				
	A 266.4 veinule de quartz; 1/4"; perpendiculaire à l'axe				
	A 266.5 veinule de quartz; 1/8"; ±30°/axe				
259.5 287	Andésite				
	A 270.4 veinule de quartz; 1/4"; ±30°/axe; cime de Py				
	A 271; 271.4 veinules de quartz; 1/4"; perpendiculaire à l'axe				
	A 272 (1/4"); 273.8 (3/4"); 274.6 (1/8") veinules de quartz à ±45°/axe				

CAROTTE DE	A	DESCRIPTION	NO	ECHANTILLON		ANALYSE	
				DE	A	LONG	Au/t Ag/t Cu
		A 275 (1/8"); 275.4 (1/4"); 275.5 (1/8"); 276 (1/2") veinules de quartz à ±30°/axe					
		A 276.8 veinule de quartz 1/8"; perpendiculaire à l'axe					
		A 277.6 veinule de quartz; 1/8"; ±40°/axe					
		A 278; deux veinules de quartz					
		De 279.2 à 282 section quartzeuse					
		A 282.2; 282.8 veinules de quartz; 1/8"; ±50°/axe	16791	282	287	5'	tr
		De 283 à 285 faille longitu- dinale					
		De 283 à 287 section sili- cifiée					
87	333.9	Basalte tholéïtique	16792	287	292	5'	tr
		De 287 à 295.2 veine de quartz laiteux	16793	292	295.2	3.2'	tr
		A 295.7 veinule de quartz; 1/4"; ±30°/axe	16794	295.2	300.2	5'	tr
		A 296.8; 298.2; 298.3; 298.4 veinules de quartz; 1/4"					
		A 299.5 veine de quartz; 1 1/2"; ±30°/axe					
		A 300 veine de quartz; 3"; ±45°/axe	16795	300.2	305.2	5'	tr
		A 301.6 morceau de quartz de 2 1/2"					
		A 308 veinule de quartz; 1/8"; ±45°/axe					
		A 308.8 veinule de quartz					
		A 309.1 (1/4"); 309.5 (1/8"); 309.7 (1/8") veinules de quartz; ±30°/axe					
		A 310.6 (1/4"); 310.8 (1/8") veinules de quartz					
		A 312.5 veinule de quartz; 2 1/2"; ±30°/axe					
		A 313.5 veinule de quartz; 1/4"; ±40°/axe					
		A 316.5; 316.7 veinules de quartz; 1/8"					
		A 319.5 veinule de quartz; 1/4"; ±30°/axe; cime de Py					

TROU No: VJ-1
 FEUILLE No: 7 de 10

CAROTTE DE A	DESCRIPTION	NO	ECHANTILLON DE A	ANALYSE LONG Au/t Ag/t Cu
	A 324.5; 325.8 veinules de quartz; $\frac{1}{4}$ "; $\pm 30^\circ$ /axe			
	A 328.6 veinule de quartz; $\frac{1}{2}$ "; perpendiculaire à l'axe			
	A 329.6; 330.8 veinules de quartz; $\frac{1}{4}$ "; $\pm 45^\circ$ /axe			
	A 333.5 ($\pm 30^\circ$ /axe); 333.8 ($\pm 45^\circ$ /axe) veinules de quartz; $\frac{1}{2}$ "			
333.9	336.7			
	Andésite verte pâle; <1% Py			
	A 335.8 veinule de quartz séricitisée; $\frac{1}{4}$ "; $\pm 45^\circ$ /axe			
336.7	385			
	Diorite/serpentinite			
	A 339.2 veinule de quartz; $\frac{1}{8}$ "			
	A 340 dyke andésitique vert foncé de 4"; $\pm 5\%$ Py			
	A 341; deux veinules de quartz; $\frac{1}{2}$ "			
	A 351 veinule de quartz; $\frac{1}{4}$ "; $\pm 20^\circ$ /axe			
	A 353.4 veinule de quartz; $\frac{1}{8}$ "; $\pm 1\%$ Py-Po			
	A 354 dyke andésitique vert foncé; $2\frac{1}{2}$ "; $\pm 45^\circ$ /axe			
	A 356.5; 357.4 veinules de quartz; $\frac{1}{8}$ "			
	A 357.6 veinule de quartz; $\pm 30^\circ$ /axe			
	A 358.8; deux veinules de quartz; $\frac{1}{8}$ "; $\pm 40^\circ$ /axe			
	A 359.6 veinule de quartz; $\frac{1}{8}$ "; $\pm 40^\circ$ /axe			
	A 360.5 veinule de quartz; $\frac{1}{4}$ "; perpendiculaire à l'axe			
	A 361 veinule de quartz; $\frac{1}{8}$ "; $\pm 30^\circ$ /axe			
	A 361.8 zone silicifiée de 3"; $\pm 2\%$ Py			
	A 363.1 ($\frac{1}{8}$ "); 363.7 ($\frac{1}{4}$ ") veinules de quartz; $\pm 45^\circ$ /axe			
	A 364.5 veinule de quartz; 2"; $\pm 30^\circ$ /axe; $\pm 1\%$ Py			
	A 366.3 ($\frac{3}{4}$ "); 367.2; 367.3 veinules de quartz			

TROU No: VJ-1
 FEUILLE No: 8 de 10

CAROTTE DE A	DESCRIPTION	NO	ECHANTILLON DE A	ANALYSE LONG Au/t Ag/t Cu
	A 368.4 veinules de quartz pour 2" avec cimes de Py			
	A 369.2 veinule de quartz; 1/4"; ±30°/axe			
	A 370.8 zone quartzeuse de 6"			
	A 371.8; 372.5 veinules de quartz; ±30°/axe			
	A 373.2 veine de quartz; 3 1/2"; ±30°/axe			
	A 374.5 veinules de quartz; 1/8"			
	A 376.6 (1/2"); 376.9 (1/8") veinules de quartz; ±45°/axe			
	A 377.8 veinule de quartz; 1/8"; ±30°/axe			
	A 378 veinule de quartz; 1/2"; ±45°/axe; cime de Py			
	A 378.2 veinule de quartz; 1/8"			
	A 379.1 section quartzeuse de 2"			
	A 380.5; 380.8 veinules de quartz; 1/2"; perpendiculaire à l'axe			
	A 380.9 veinule de quartz; 1/2"; ±45°/axe			
	A 382; 382.7; 383.8; 384; 384.5; 385; veinules de quartz			
285	390 Andésite A 388; 388.4; 388.5; veinules de quartz			
30	407.5 Andésite silicieuse A 407.5 veine de quartz; 1/2"; ±30°/axe			
307.5	416 Basalte tholéïtique De 409 à 411.6 section silicifiée A 412.3; 412.5 veinules de quartz A 413.5 veinule de quartz; 1/8"; ±30°/axe A 415 (1/8"); 415.7 (1/4") veinules de quartz; ±45°/axe			

CAROTTE		DESCRIPTION	NO	ECHANTILLON		LONG	ANALYSE		
JE	A			DE	A		Au/t	Ag/t	Cu
416	423	Dyke quartzofeldspathique (porphyrique); avec de 1 à 5% Cp	16796	416	421	5'	tr		
			16797	421	423	2'	tr		
423	465	Dyke granodioritique silicifié	16798	423	428	5'	tr		
			16799	428	430	2'	tr		
		A 429.5 veine de quartz altérée; 4"; ±30°/axe							
		A 430; 430.6 veinules de quartz; 1/4"; ±40°/axe							
		A 431 veinule de quartz; 1/8"; ±45°/axe							
		A 434 veine de quartz pour 3"; ±30°/axe	16800	434	434.5	0.5'	tr		
		A 435 veinule de quartz; 1/8"; perpendiculaire à l'axe							
		De 436.5 à 438 veinule de quartz; 1/8"; parallèle à l'axe							
455	483.5	Basalte tholéïtique; <1% Py							
		A 469 veinule de quartz perpendiculaire à l'axe							
		A 469.6; 470; veinules de quartz; 1/4"; ±40°/axe							
		A 471.2; 472.3; 474; veinules de quartz; 1/4"; perpendiculaire à l'axe							
		A 475 veinule de quartz; 1/8"; parallèle à l'axe							
		A 476.2 veinule de quartz; 1/4"; perpendiculaire à l'axe							
		A 479 section avec ±3% Py							
		De 478.5 à 480 section silicifiée							
483.5	491.5	Dacite							
		De 483.5 à 484.5 zone de cisaillement							
		A 485.9; 488.6; 488.8; veinules de quartz; 1/8"							
		A 491.2 veinule de quartz-chlorite; 3/4"; ±40°/axe; cime de Py							

TROU No: VJ-1
FEUILLE No: 10 de 10

CAROTTE DE A	DESCRIPTION	NO	ECHANTILLON		ANALYSE				
			DE	A	LONG	Au/t	Ag/t	Cu	
491.5	506								
	Basalte tholéïtique; <1% Py								
	A 492.5; 492.8; 494.5; 496;								
	veinules de quartz; 1/4";								
	±45°/axe								
	A 496.3; 496.6; 496.8; 497.4;								
	veinules de quartz; 1/8"								
	A 500.8 veinule de quartz;								
	1/2"; ±45°/axe								
	A 501.3 veinule de quartz								
	bleu; 1/8"; ±30°/axe; cime de								
	Py								
	A 502.1 veinule de quartz								
	bleu; 1/8"; ±45°/axe; cime de								
	Py								
	A 502.4 (1/8"); 502.5 (1/4")								
	veinules de quartz; ±35°/axe								
	A 504.1 morceau de quartz;								
	3/4"								
	A 504.9 veinule de quartz;								
	1/8"; ±30°/axe								
	A 505.5 veinule de quartz;								
	±45°/axe								

FIN DU TROU 506'

RESSOURCES VASSAN INC.
400, 3^e AVENUE
VAL D'OR, Qc
J9P 1R9

JOURNAL DE SONDAGE AU DIAMANT

TERRAIN: Joutel
CLAIM No: 436988-1 et
436987-3
ELEVATION ORIFICE: Surface
AZIMUT: 0' = 45° 306' = 47°
506' = 38° 746' = 38°

CANTON: Joutel
RANG: III LOT No: --
ORIENTATION: 165°N
LONGUEUR TOTALE: 751'
COORDONNEES ORIFICE:
LAT: 4+00W DEP: 6+50N

TROU No: VJ-2
FEUILLE No: 1 de 7
COMMENCE LE 16/12/86
TERMINE LE 23/12/86
JOURNAL PAR J. Munger

DE	CAROTTE A	DESCRIPTION	NO	ECHANTILLON		ANALYSE			
				DE	A	LONG	Au/t	Ag/t	Cu
0	204	Mort-terrain							
204	370	Diorite; texture ophitique de 1 à 3% Py disséminée							
		De 204 à 341 fortement altérée en limonite, goethi- te, épidote; nombreuses veines et veinules de sidérite; quelques veines de quartz	10935	204	206	2'		tr	
		De 206 à 209.5 brèche avec fragments de diorite et sidérite dans une matrice mafique; ±60°/axe	10936	206	209	3'		tr	
		De 208 à 209.5 fracturation; ±80°/axe							
		De 209.5 à 211.5 veine de sidérite altérée en limonite; ±80°/axe	10937	209	212	3'		tr	
			10938	212	215	3'		tr	
			10939	215	218	3'		tr	
		De 227 à 229 veine de quartz et sidérite altérée en limonite	10940	218	221	3'		tr	
			10941	221	224	3'		tr	
			10942	224	227	3'		tr	
		De 227 à 227.5 fracturée; ±70°/axe; quelques petits cristaux d'aragonite	10943	227	229	2'		tr	
			10944	229	232	3'		tr	
			10945	232	235	3'		tr	
		De 237 à 242; ±3% de grains de magnétite disséminés	10946	235	238	3'		tr	
			10947	238	241	3'		tr	
		De 246 à 246.5 fracturation intense; ±80°/axe	10948	241	244	3'		tr	
			10949	244	247	3'		tr	

CAROTTE DE A	DESCRIPTION	NO	ECHANTILLON		LONG	ANALYSE	
			DE	A		Au/t	Ag/t
	De 249.6 à 250 veine de sidérite; ±50°/axe	10950	247	250	3'		tr
		10951	250	253	3'		tr
	De 259 à 264 brèche avec fragments de diorite et de sidérite; ±60°/axe	10952	253	256	3'		tr
		10953	256	259	3'		tr
		10954	259	262	3'		tr
	De 268 à 271 fracturation à ±60°/axe	10955	262	264	2'		tr
		10956	264	267	3'		tr
	De 277 à 278 fracturation à ±70°/axe	10957	267	270	3'		tr
		10958	270	273	3'		tr
	De 281 à 288; ±5% de magné- tite disséminée	10959	273	276	3'		tr
		10960	276	279	3'		tr
	De 295 à 321; ±5% de magné- tite disséminée	10961	279	282	3'		tr
		10962	282	285	3'		tr
	A 321.5 veine de quartz- sidérite de 5 cm; ±70°/axe	10963	285	288	3'		tr
		10964	288	291	3'		tr
	De 325.5 à 326 veine de quartz-sidérite; ±50°/axe	10965	291	294	3'		tr
		10966	294	297	3'		tr
	De 326 à 329.5 brèche avec fragments de diorite, de sidérite et de quartz; ±60°/axe	10967	297	300	3'		tr
		10968	300	303	3'		tr
		10969	303	306	3'		tr
		10970	306	309	3'		tr
	De 329.5 à 330.7 veine de sidérite et quartz; ±90°/axe	10971	309	312	3'		tr
		10972	312	315	3'		tr
	De 330.7 à 335 nombreuses fractures; ±70°/axe	10973	315	318	3'		tr
		10974	318	321	3'		tr
	De 335 à 341 fracturation intense; très altérée en limonite et goethite; ±70°/axe	10975	321	324	3'		tr
		10976	324	326	2'		tr
		10977	326	329	3'		tr
		10978	329	331	2'		tr
	De 341 à 370 rares veinules de sidérite, quelques veinules de calcite avec hématite; ±1% magnétite disséminée	10979	331	333	2'		tr
		10980	333	335	2'		tr
		10981	335	338	3'		tr
		10982	338	341	3'		tr
	De 341 à 343 quelques fractures; ±80°/axe	10983	341	343	2'		tr
		10984	347.5	348.5	1'		tr
	A 348 fracturation; ±60°/axe	10985	352	355	3'		tr
	De 352 à 361 fracturation; ±60°/axe	10986	355	358	3'		tr
		10987	358	361	3'		tr

N.B. Une erreur de profondeur de 5' s'est produite à 356'. Une autre erreur de profondeur après 356', le même bloc revient 5' plus loin. Le journal se continue prenant le 2ème bloc comme 361'

CAROTTE DE	A	DESCRIPTION	NO	ECHANTILLON		LONG	ANALYSE		
				DE	A		Au/t	Ag/t	Cu
		De 364 à 370 nombreuses fractures; ±50°/axe	10988	364	367	3'		tr	
			10989	367	370	3'		tr	
370	463.5	Andésite; schistosité à ±50°/axe; plusieurs sections fracturées; plusieurs minces veines et veinules de sidérite altérée en limonite sur certaines sections							
		De 370 à 372 nombreuses fractures; ±60°/axe	10990	370	373	3'		tr	
			10991	373	376	3'		tr	
		De 382.5 à 383.5 fracturation intense; ±50°/axe; Po dans les veinules de sidérite	10992	376	379	3'		tr	
			10993	379	382	3'		tr	
			10994	382	385	3'		tr	
		De 387 à 388.5 fracturation intense; ±50°/axe	10995	385	388	3'		tr	
			10996	388	391	3'		tr	
		De 391 à 396 fracturation intense; ±50°/axe	10997	391	394	3'		tr	
			10998	394	397	3'		tr	
		De 390 à 401; ±3% de magnétite disséminée	10999	397	399	2'		tr	
		De 398 à 401 fracturation intense; ±60°/axe et sub-parallèle à l'axe	11000	399	401	2'		tr	
		De 409 à 411 nombreuses veines (moins de 10 cm) de sidérite et quartz; ±45°/axe	11001	409	411	2'		tr	
		De 411 à 413 fracturation intense; ±80°/axe	11002	411	413	2'		tr	
		De 419.5 à 421 fracturation intense; ±60°/axe	11003	419.5	422.5	3'		tr	
		De 421 à 441; de 5 à 10% de magnétite disséminée							
		A 422 fracturation intense sur 10 cm; ±60°/axe							
		De 425 à 428 quelques bandes (5 à 10 cm) altérées en épidote; ±50°/axe	11004	425	428	3'		tr	
		De 428 à 433 quelques fractures; ±50°/axe	11005	428	431	3'		tr	
			11006	431	433	2'		tr	
		De 433 à 436 fracturation intense; ±50°/axe et sub-parallèle; nombreuses veinules de sidérite	11007	433	436	3'		tr	
			11008	436	439	3'		tr	
		De 436 à 449 quelques fractures; ±50°/axe; nombreuses veinules de sidérite dans toutes les directions	11009	439	442	3'		tr	
			11010	442	445	3'		tr	
			11011	445	448	3'		tr	
			11012	448	451	3'		tr	

CAROTTE DE	A	DESCRIPTION	NO	ECHANTILLON		LONG	ANALYSE		
				DE	A		Au/t	Ag/t	Cu
		De 449 à 450 fracturation intense; ±50°/axe							
		De 453 à 454 fracturation intense; ±50°/axe; abondance de sidérite et limonite	11013	451	454	3'		tr	
		De 454 à 460 abondance de sidérite et limonite	11014	454	457	3'		tr	
		De 456.5 à 457 fracturation intense; ±50°/axe							
		Près du contact, l'andésite est altérée en épidote	11015	457	460	3'		tr	
			11016	460	463	3'		tr	
463.5	495.5	Diorite; contact supérieur ±60°/axe; nombreuses veinules de sidérite-quartz, altérée en limonite; ±50°/axe; texture ophitique; altérée en épidote	11017	463	466	3'		tr	
		De 466 à 466.7 bande d'andésite altérée en épidote; ±60°/axe	11018	466	469	3'		tr	
			11019	469	472	3'		tr	
			11020	472	475	3'		tr	
		De 480.8 à 486.2 veine de quartz (20%), sidérite (20%) avec fragments (60%) d'andésite et de diorite; le contact supérieur est à ±60°/axe et inférieur à ±30°/axe	11021	475	478	3'		tr	
			11022	478	480	2'		tr	
			11023	480	481	1'		tr	
			11024	481	482	1'		tr	
			11025	482	483	1'		tr	
			11026	483	484	1'		tr	
			11027	484	485	1'		tr	
		De 486.2 à 491 interlits d'andésite et de diorite	11028	485	486	1'		tr	
			11029	486	488	2'		tr	
		De 491 à 492.4 veine de quartz (80%) et sidérite (20%) avec de la tourmaline; ±60°/axe	11030	488	491	3'		tr	
			11031	491	492.5	1.5'		tr	
			11032	492.5	494	1.5'		tr	
		De 494 à 495.5 veine de quartz-sidérite; ±60°/axe; avec une mince bande mafique; ±60°/axe	11033	494	495.5	1.5'		tr	
495.5	539	Dacite avec nombreuses veinules de quartz et sidérite altérée en limonite; ±50°/axe	11034	495.5	498	2.5'		tr	
			11035	498	501	3'		tr	
			11036	501	504	3'		tr	
			11037	504	507	3'		tr	
		De 496 à 496.5 bande de diorite	11038	507	509	2'		tr	

CAROTTE DE	A	DESCRIPTION	NO	ECHANTILLON		LONG	ANALYSE		
				DE	A		Au/t	Ag/t	Cu
		De 509 à 509.7 veine de quartz-sidérite avec tourmaline; ±50°/axe	11039	509	510	1'		tr	
		A 511 fracturation intense sur quelques cm; ±45°/axe	11040	510	512	2'		tr	
		De 511.5 à 512 veine de quartz-sidérite; ±45°/axe							
		De 512 à 514 nombreuses fractures; ±45°/axe	11041	512	514	2'		tr	
		De 514 à 515 veine de sidérite et de quartz altérée en limonite; ±60°/axe	11042	514	515	1'		tr	
		De 515 à 522 nombreuses fractures, abondance de sidérite et limonite	11043	515	518	3'		tr	
			11044	518	521	3'		tr	
			11045	521	524	3'		tr	
		De 522 à 526.5 brèche et fracturation intense; ±50°/axe; fragments d'andésite, dacite et rhyolite dans une matrice de sidérite, beaucoup de limonite	11046	524	527	3'		tr	
		De 526.5 à 527.5 rhyolite avec nombreuses veinules de quartz-sidérite	11047	527	530	3'		tr	
		De 527.5 à 539 nombreuses veinules de sidérite altérée en limonite							
		De 531 à 534; 537 à 539; fracturations intenses; ±50°/axe	11048	530	533	3'		tr	
			11049	533	536	3'		tr	
			11049A	536	539	3'		tr	
529	561	Andésite; nombreuses veinules de quartz-sidérite altérée en limonite; ±50°/axe	11050	539	541	2'		tr	
		De 540.5 à 541 veine de quartz-sidérite; ±50°/axe	11051	541	544	3'		tr	
			11052	544	546	2'		tr	
		De 546.5 à 547.5 veine de sidérite très fortement altérée en limonite et goethite; ±30°/axe	11053	546	548	2'		tr	
		De 549 à 549.5 veine de quartz-sidérite; ±80°/axe	11054	548	551	3'		tr	
		A 551.5 veine de sidérite-quartz (10 cm); ±45°/axe	11055	551	552	1'		tr	
			11056	552	555	3'		tr	
		De 560 à 561 l'andésite est altérée au contact	11057	555	558	3'		tr	
			11058	558	561	3'		tr	

CAROTTE DE	A	DESCRIPTION	NO	ECHANTILLON		ANALYSE	
				DE	A	LONG	Au/t Ag/t Cu
561	573	Diorite; contact $\pm 50^\circ$ /axe; texture ophitique; nombreuses veinules de sidérite-quartz surtout à $\pm 50^\circ$ /axe	11059	561	564	3'	tr
		De 561 à 573 très forte altération en limonite et goethite	11060 11061 11062	564 567 570 573	567 570 573	3' 3' 3'	tr tr tr
573	581	Andésite; nombreuses veinules de sidérite avec limonite	11063	573	576	3'	tr
		De 576 à 577.5 brèche à ciment de sidérite	11064	576	579	3'	tr
		N.B. Entre les blocs 576 et 579 du foreur, il y a 5' de carotte.					
		De 577.5 à 581 fracturation intense; $\pm 60^\circ$ /axe	11065	579	581	2'	tr
581	606	Dacite; nombreuses veinules de sidérite et quartz dans 2 directions qui se coupent presque perpendiculairement, une à $\pm 50^\circ$ /axe est légèrement déplacée (moins de 1 cm) par la seconde à $\pm 45^\circ$ /axe	11066 11067 11068 11069 11070 11071 11072	581 584 586 589 592 595 598	584 586 589 592 595 598 601	3' 2' 3' 3' 3' 3' 3'	tr tr tr tr tr tr tr
		De 586 à 589 fracturation et très altérée en limonite	11073 11074	601 604	604 606	3' 2'	tr tr
606	656	Diorite; texture ophitique; de 1 à 2% Py	11075 11076	606 609	609 612	3' 3'	tr tr
		De 606 à 625 nombreuses veinules de sidérite-quartz; $\pm 50^\circ$ /axe; quelques veinules avec hématite; nombreuses fractures; $\pm 60^\circ$ /axe	11077 11078 11079 11080 11081	612 615 618 621 623	615 618 621 623 625	3' 3' 3' 2' 2'	tr tr tr tr tr
		N.B. Entre les blocs 619 et 649, la carotte est peu fracturée mais il manque 2' de carotte.					
		De 630 à 631 fracturation; $\pm 60^\circ$ /axe	11082	630	631	1'	tr

TROU No: VJ-2
FEUILLE No: 7 de 7

CAROTTE DE A	DESCRIPTION	NO	ECHANTILLON		ANALYSE	
			DE	A	LONG	Au/t Ag/t Cu
	De 637 à 649 nombreuses fractures de 50 à 60°/axe; abondance de veinules de sidérite et quartz avec limonite	11083	637	640	3'	tr
	De 626 à 641; ±5 de magnétite disséminée	11084	640	643	3'	tr
	De 649 à 655 nombreuses veinules de quartz-sidérite; ±60°/axe; ±5% de magnétite	11085	643	646	3'	tr
	De 655 à 655.8 veine de quartz-sidérite; ±60°/axe	11086	646	649	3'	tr
	De 649 à 655 nombreuses veinules de quartz-sidérite; ±60°/axe; ±5% de magnétite	11087	649	652	3'	tr
	De 655 à 655.8 veine de quartz-sidérite; ±60°/axe	11088	652	655	3'	tr
	De 655 à 655.8 veine de quartz-sidérite; ±60°/axe	11089	655	657	2'	tr
656	751					
	Andésite; schistosité à ±50°/axe; quelques veinules de sidérite-quartz avec limonite dans la schistosité; quelques altérations en épidote; présence de magnétite jusqu'à 5% sur certaines sections					
	De 657 à 660 quelques fractures; ±50°/axe	11090	657	660	3'	tr
	A 674.7 fracture hématisée sur quelques cm; ±50°/axe	11091	674	675	1'	tr
	De 693 à 697 dacite; ±45°/axe	11092	690	693	3'	tr
	De 697 à 698 fracturation intense; ±50°/axe; fortement altérée en limonite	11093	693	695	2'	tr
	De 697 à 698 fracturation intense; ±50°/axe; fortement altérée en limonite	11094	695	697	2'	tr
	De 700.5 à 702 dacite; ±50°/axe	11095	697	700	3'	tr
	De 700.5 à 702 dacite; ±50°/axe	11096	700	702	2'	tr
	De 712 à 715 quelques minces veines de quartz avec épidote; ±60°/axe	11097	702	705	3'	tr
	De 712 à 715 quelques minces veines de quartz avec épidote; ±60°/axe	11098	712	715	3'	tr
	A 722.5 fracturation intense sur quelques cm; ±60°/axe	11099	722	723	1'	tr
	De 740.5 à 741 dacite; schistosité ±50°/axe	11100	743.5	746.5	3'	tr
	De 740.5 à 741 dacite; schistosité ±50°/axe	11101	746.5	749	2.5'	tr
		11102	749	751	2'	tr

FIN DU TROU 751'

RESSOURCES VASSAN INC.
400, 3^e AVENUE
VAL D'OR, Qc
J9P 1R9

JOURNAL DE SONDAGE AU DIAMANT

TERRAIN: Joutel
CLAIM No: 436988-1
ELEVATION ORIFICE: Surface
ANGLE: 0' = 50° 300' = 47°
 600' = 42° 800' = 38°
 964' = 37°

CANTON: Joutel
RANG: III LOT No: --
ORIENTATION: 165°N
LONGUEUR TOTALE: 1016'
COORDONNEES ORIFICE:
LAT: 3+50W DEP: 5+00N

TROU No: VJ-3
FEUILLE No: 1 de 7
COMMENCE LE 5/01/87
TERMINE LE 14/01/87
JOURNAL PAR J. Munger

CAROTTE		DESCRIPTION	NO	ECHANTILLON		ANALYSE		
DE	A			DE	A	LONG	Au/t	Ag/t
0	270	Mort-terrain						
270	543	Andésite; schistosité de 45 à 50°/axe; nombreuses veinules de sidérite-quartz dans toutes les directions; quelques grains de magnétite disséminés; sidérite altérée en limonite	11103	270	273	3'	tr	
		De 270 à 276 nombreuses fractures; ±60°/axe	11104	273	276	3'	tr	
		De 276 à 288 nombreuses veinules de sidérite-quartz dans toutes les directions	11105	276	279	3'	tr	
		De 295 à 313 nombreuses veinules de sidérite-quartz dans toutes les directions	11106	279	282	3'	tr	
		De 313 à 316 texture brèchi- que; ±50°/axe	11107	282	285	3'	tr	
		De 316 à 328 nombreuses veinules de sidérite-quartz surtout à ±50°/axe;	11108	285	288	3'	tr	
		A 319.5 fracturation intense sur quelques cm à ±60°/axe	11109	295	298	3'	tr	
		De 335 à 343 nombreuses veinules de quartz-sidérite dans toutes les directions	11110	298	301	3'	tr	
			11111	301	304	3'	tr	
			11112	304	307	3'	tr	
			11113	307	310	3'	tr	
			11114	310	313	3'	tr	
			11115	313	316	3'	tr	
			11116	316	319	3'	tr	
			11117	319	322	3'	tr	
			11118	322	325	3'	tr	
			11119	325	328	3'	tr	
			11120	335	338	3'	tr	
			11121	338	341	3'	tr	
			11122	341	343	2'	tr	
			11123	348.5	351.5	3'	tr	

CAROTTE DE A	DESCRIPTION	NO	ECHANTILLON		LONG	ANALYSE		
			DE	A		Au/t	Ag/t	Cu
	De 351.5 à 356 dyke de diabase; $\pm 70^\circ$ /axe	11124	351.5	354	2.5'		tr	
	A 354 fracture; $\pm 70^\circ$ /axe	11125	354	356	2'		tr	
	De 356 à 362 nombreuses veinules de sidérite-quartz; $\pm 45^\circ$ /axe	11126	356	359	3'		tr	
		11127	359	362	3'		tr	
	De 378 à 381 quelques fractures; $\pm 70^\circ$ /axe	11128	378	381	3'		tr	
	De 386.5 à 388 fracturation intense; $\pm 60^\circ$ /axe	11129	386.5	389.5	3'		tr	
	A 389 fracturation intense sur quelques cm							
	De 401 à 402 quelques fractures; $\pm 40^\circ$ /axe	11130	401	403	2'		tr	
	A 402.7 veine de quartz; 5 cm; $\pm 45^\circ$ /axe							
	De 414 à 415 fracturation intense; $\pm 45^\circ$ /axe	11131	414	415	1'		tr	
	De 422 à 425 fractures sub-parallèle à l'axe	11132	422	425	3'		tr	
	De 429 à 432 fracturation; $\pm 45^\circ$ /axe	11133	429	432	3'		tr	
	De 431 à 432 fracturation intense							
	De 434 à 435 fracturation intense; $\pm 40^\circ$ /axe	11134	434	435	1'		tr	
	De 448 à 451 quelques fractures; $\pm 50^\circ$ /axe	11135	448	451	3'		tr	
	De 450 à 451 fracturation intense							
	A 452.5 fracturation intense sur quelques cm; $\pm 60^\circ$ /axe	11136	452	453	1'		tr	
		11137	459	460	1'		tr	
	A 459.5 mince veine (3 cm) de quartz - calcite - sidérite; $\pm 30^\circ$ /axe	11138	461	464	3'		tr	
		11139	464	467	3'		tr	
		11140	467	470	3'		tr	
	De 461 à 464 quelques fractures; $\pm 45^\circ$ /axe	11141	470	473	3'		tr	
		11142	473	476	3'		tr	
	De 464 à 491 brèche avec fragments d'andésite et dacite dans une matrice mafique	11143	476	479	3'		tr	
		11144	479	482	3'		tr	
		11145	482	485	3'		tr	
		11146	485	488	3'		tr	
	De 466 à 467; 473 à 474; 489 à 491; fracturations intenses	11147	488	491	3'		tr	
		11148	491	494	3'		tr	
	De 491 à 497 nombreuses fractures; $\pm 45^\circ$ /axe	11149	494	497	3'		tr	
		11150	497	499	2'		tr	

CAROTTE DE	A	DESCRIPTION	NO	ECHANTILLON		LONG	ANALYSE		
				DE	A		Au/t	Ag/t	Cu
		De 506 à 509 nombreuses veinules de quartz-sidérite et de calcite surtout à ±50°/axe	11151	506	509	3'		tr	
		De 512 à 524 nombreuses veinules de quartz-sidérite; ±45°/axe	11152	512	515	3'		tr	
		De 540 à 543 quelques fractures; ±70°/axe; avec veinules de quartz-sidérite	11153	515	518	3'		tr	
			11154	518	521	3'		tr	
			11155	521	524	3'		tr	
			11156	540	543	3'		tr	
			11157	543	546	3'		tr	
			11158	546	549	3'		tr	
43	631	Dacite; schistosité ±45°/axe; nombreuses veinules de quartz-calcite dans la schistosité	11159	549	552	3'		tr	
		A 546.3 fracturation intense sur quelques cm; ±80°/axe	11160	552	555	3'		tr	
		De 558 à 561 quelques fractures; ±80°/axe	11161	555	558	3'		tr	
		De 566 à 572 forte altération en limonite; nombreuses veinules de sidérite dans toutes les directions	11162	558	561	3'		tr	
		De 576 à 592 nombreuses veinules de sidérite avec altérations en limonite	11163	561	564	3'		tr	
			11164	564	567	3'		tr	
			11165	567	570	3'		tr	
			11166	570	573	3'		tr	
			11167	573	576	3'		tr	
			11168	576	579	3'		tr	
			11169	579	582	3'		tr	
			11170	582	585	3'		tr	
			11171	585	588	3'		tr	
			11172	588	591	3'		tr	
			11173	591	594	3'		tr	
			11174	594	597	3'		tr	
			11175	597	600	3'		tr	
			11176	600	603	3'		tr	
			11177	603	606	3'		tr	
			11178	606	609	3'		tr	
			11179	609	612	3'		tr	
631	690	Andésite; schistosité à ±60°/axe; nombreuses veinules de quartz-calcite-sidérite dans toutes les directions; altérée en limonite	11180	612	615	3'		tr	
		De 631 à 633 fracturation intense; ±60°/axe	11181	615	618	3'		tr	
		A 634 fracturation intense sur quelques cm; ±60°/axe	11182	618	621	3'		tr	
		De 634.5 à 636 nombreuses veinules de quartz-calcite-sidérite, surtout à ±60°/axe	11183	621	624	3'		tr	
			11184	624	627	3'		tr	
			11185	627	629	2'		tr	
			11186	629	631	2'		tr	
			11187	631	633	2'		tr	
			11188	633	636	3'		tr	
			11189	662	665	3'		tr	
			11190	665	666	1'		tr	
			11191	666	667	1'		tr	
		De 665 à 666 dacite; ±70°/axe							

CAROTTE DE	A	DESCRIPTION	NO	ECHANTILLON		LONG	ANALYSE		
				DE	A		Au/t	Ag/t	Cu
		De 673 à 690; ±3% de magné- tite disséminée	11192	673	674	1'		tr	
		A 673.5 fracturation; ±60°/axe							
		De 684 à 685 fracturation	11193	684	685	1'		tr	
		intense; ±70°/axe	11194	687	690	3'		tr	
90	715	Diorite; contact à ±50°/axe; quelques veinules de quartz- calcite-sidérite dans toutes les directions; texture ophitique; ±3% de magnétite disséminée; légère altération en épidote	11195	690	693	3'		tr	
		A 700.5 fracture; ±70°/axe	11196	700	701	1'		tr	
			11197	712	715	3'		tr	
215	731	Andésite; schistosité ±60°/axe; quelques veinules de quartz-calcite avec sidérite dans toutes les directions; légèrement altérée en limonite							
		De 715 à 716 fractures; ±60°/axe	11198	715	716	1'		tr	
			11199	716	719	3'		tr	
		De 727.5 à 728.3 grains plus grossiers, texture ophitique	11200	728	731	3'		tr	
31	748	Diorite; contact ±80°/axe; quelques veinules de quartz- calcite-sidérite, générale- ment à ±70°/axe; texture ophitique	11201	731	734	3'		tr	
		De 732 à 732.5 fractures ±45°/axe							
		De 733.5 à 734 veine de quartz-calcite-sidérite; ±70°/axe							
		De 741 à 743 fracturation intense; ±60°/axe	11202	741	743	2'		tr	
			11203	745	748	3'		tr	
48	756	Andésite; nombreuses veinules de quartz-calcite dans toutes les directions							
		De 748 à 756 nombreuses fractures et fracturation intense; ±60°/axe; trace de spécularite	11204	748	751	3'		tr	
			11205	751	754	3'		tr	
			11206	754	756	2'		tr	

CAROTTE DE	A	DESCRIPTION	NO	ECHANTILLON		LONG	ANALYSE		
				DE	A		Au/t	Ag/t	Cu
756	783.5	Diorite; contact $\pm 70^\circ$ /axe; rares veinules de calcite et sidérite; $\pm 60^\circ$ /axe; légè- rement altérée en épidote	11207	756	759	3'		tr	
		A 761 fracturation intense sur quelques cm; $\pm 70^\circ$ /axe	11208	760.5	761.5	1'		tr	
		A 765.5 fracturation sur quelques cm; $\pm 70^\circ$ /axe	11209 11210	765 780.5	766 783.5	1' 3'		tr	
783.5	820	Andésite; quelques veinules de quartz-calcite-sidérite dans toutes les directions; légèrement altérée en épidote; légère altération en limonite	11211	783.5	786.5	3'		tr	
		De 795 à 796 fractures avec spéularite; $\pm 80^\circ$ /axe	11212	795	796	1'		tr	
		De 799 à 801 nombreuses veinules de quartz-calcite et sidérite dans toutes les directions, avec forte altération en limonite	11213 11214	799 817	801 820	2' 3'		tr	
820	833.5	Dacite; schistosité $\pm 60^\circ$ /axe; rares veinules de quartz- sidérite dans toutes les directions	11215 11216 11217 11218	820 823 826 829	823 826 829 831	3' 3' 3' 2'		tr	
		De 820 à 821.5 fractures $\pm 30^\circ$ /axe	11219	831	833.5	2.5'		tr	
833.5	849.5	Andésite; rares veinules de quartz-sidérite avec altéra- tions en limonite; de 45 à 70° /axe	11220 11221	833.5 846.5	836.5 849.5	3' 3'		tr	
849.5	866.5	Diorite; texture ophitique; contact supérieur à 60° /axe par faille; altérée en épidote	11222	849.5	852.5	3'		tr	
		De 857 à 859 veinules de quartz-sidérite; $\pm 30^\circ$ /axe	11223 11224	857 863.5	859 866.5	2' 3'		tr	
866.5	877	Tuf felsique; schistosité $\pm 70^\circ$ /axe; nombreuses veinules de quartz-sidérite dans la schistosité; trace de Py	11225 11226 11227	866.5 869 872	869 872 875	2.5' 3' 3'		tr	

CAROTTE DE	A	DESCRIPTION	NO	ECHANTILLON		LONG	ANALYSE		
				DE	A		Au/t	Ag/t	Cu
		De 874 à 876 nombreuses fractures dans la schistosité	11228	875	877	2'		tr	
877	922.5	Andésite; schistosité ±50°/axe; rares veinules de quartz-sidérite dans toutes les directions; légèrement altérée en épidote							
		De 877 à 881.5 nombreuses veinules de quartz-sidérite dans toutes les directions	11229	877	879	2'		tr	
		De 881.5 à 882.5 tuf felsique; ±70°/axe	11230	879	881.5	2.5'		tr	
		De 881.5 à 882.5 tuf felsique; ±70°/axe	11231	881.5	882.5	1'		tr	
		A 899 veine de quartz-sidérite (10 cm); ±70°/axe	11232	898.5	899.5	1'		tr	
		De 904 à 908 tuf felsique ±45°/axe	11233	904	906	2'		tr	
		De 906 à 907 fracturation intense; ±70°/axe	11234	906	908	2'		tr	
		De 908 à 911 quelques fractures; ±70°/axe	11235	908	911	3'		tr	
		De 920 à 922.5 nombreuses fractures; ±70°/axe	11236	919.5	922.5	3'		tr	
22.5	943.5	Dacite; schistosité ±50°/axe; rares veinules de quartz-calcite dans la schistosité	11237	922.5	925.5	3'		tr	
			11238	925.5	928.5	3'		tr	
			11239	928.5	931.5	3'		tr	
43.5	1016	Basalte/Andésite; schistosité ±50°/axe; nombreuses veinules de calcite dans toutes les directions; légère altération en épidote	11240	931.5	934.5	3'		tr	
			11241	934.5	937.5	3'		tr	
			11242	937.5	940.5	3'		tr	
			11243	940.5	943.5	3'		tr	
			11244	943.5	946.5	3'		tr	
		De 960 à 963 nombreuses fractures; ±70°/axe	11245	960	963	3'		tr	
		De 975 à 982; ±5% de magnétite disséminée							
		De 984 à 986 nombreuses veinules de calcite pyriteuses; ±45°/axe	11246	984	986	2'		tr	
		De 997 à 1000 nombreuses veinules de quartz avec épidote et trace de spécularite; ±45°/axe	11247	997	1000	3'		tr	

TROU No: VJ-3
FEUILLE No: 7 de 7

CAROTTE DE	A	DESCRIPTION	NO	ECHANTILLON DE	A	LONG	ANALYSE Au/t Ag/t Cu
		De 1000 à 1003 grains grossiers avec veinules de quartz-sidérite; $\pm 50^\circ$ /axe	11248	1000	1003	3'	tr
		De 1013 à 1016 nombreuses veinules de calcite dans toutes les directions	11249	1013	1016	3'	tr
		A 1015 fracturation sur quelques cm; $\pm 45^\circ$ /axe					

FIN DU TROU 1016'

RESSOURCES VASSAN INC.
400, 3^e AVENUE
VAL D'OR, Qc
J9P 1R9

JOURNAL DE SONDAGE AU DIAMANT

TERRAIN: Joutel	CANTON: Joutel	TROU No: VJ-4
CLAIM No: 436988-1	RANG: III LOT No: --	FEUILLE No: 1 de 11
ELEVATION ORIFICE: Surface	ORIENTATION: 210°N	COMMENCE LE 15/01/87
ANGLE: 0' = 45° 200' = 45°	LONGUEUR TOTALE: 1406'	TERMINE LE 1/02/87
400' = 41° 600' = 37°	COORDONNEES ORIFICE:	JOURNAL PAR J. Munger
800' = 35° 1100' = 32°	LAT: 2+75W DEP: 1+50N	
1200' = 29° 1406' = 32°		

CAROTTE	DESCRIPTION	NO	ECHANTILLON		ANALYSE			
DE	A		DE	A	LONG	Au/t	Ag/t	Cu
0	64	Mort-terrain						
64	118	Basalte/Andésite; schistosité ±45°/axe; nombreuses veines et veinules de quartz et sidérite	11250	64	67	3'	tr	
			11251	67	70	3'	tr	
		De 64 à 74 nombreuses fractures de 45 à 80°/axe	11252	70	72	2'	tr	
			11253	72	74	2'	tr	
		De 74 à 118 brèche tectonique ±45°/axe; nombreuses veines et veinules de quartz et sidérite; fractures nombreu- ses; ±45°/axe	11254	74	77	3'	tr	
			11255	77	80	3'	tr	
			11256	80	83	3'	tr	
			11257	83	86	3'	tr	
			11258	86	89	3'	tr	
		De 75 à 75.5; de 77.5 à 79;	11259	89	92	3'	tr	
		de 80 à 83; de 85 à 86;	11260	92	95	3'	tr	
		fracturations intenses						
		N.B. Les foreurs ont fait une erreur de 10' en moins à 86'. Cette erreur est corrigée par un 10' en trop à 135'.						
		De 95 à 101 Py dans les veinules	11261	95	98	3'	tr	
			11262	98	101	3'	tr	
		De 101 à 102; ±2% Py et trace de Cp dans les veinules	11263	101	104	3'	tr	
			11264	104	106	2'	tr	
		De 106 à 109 veine de quartz- sidérite avec minces lits de basalte; très fracturée;	11265	106	108	2'	tr	
			11266	108	110	2'	tr	
			11267	110	113	3'	tr	
		±30°/axe						

CAROTTE DE	A	DESCRIPTION	NO	ECHANTILLON		LONG	ANALYSE		
				DE	A		Au/t	Ag/t	Cu
		De 114.5 à 115 veine de quartz-sidérite; $\pm 30^\circ$ /axe	11268	113	116	3'	tr		
		De 115 à 118 fracturation intense; $\pm 45^\circ$ /axe	11269	116	119	3'	tr		
118	155	Tuf intermédiaire; schistosité $\pm 45^\circ$ /axe; quelques veinules de quartz et sidérite; quelques fractures $\pm 45^\circ$ /axe	11270	119	121	2'	.005		
			11271	121	122	1'	.005		
			11272	122	125	3'	.020		
			11273	125	128	3'	tr		
			11274	128	131	3'	tr		
		De 121 à 122 veine de quartz-sidérite; $\pm 1\%$ Py disséminée	11275	131	134	3'	tr		
			11276	134	135	1'	.005	.006	
		De 131.5 à 132.5 fracturation intense; $\pm 45^\circ$ /axe	11277	135	136	1'	.013	.015	
			11278	136	137	1'	.005	.009	
		De 134 à 137 veine de quartz-sidérite; $\pm 3\%$ Py disséminée	11279	137	140	3'	tr		
			11280	140	143	3'	tr		
		A 140.5 fracturation intense sur quelques cm; $\pm 45^\circ$ /axe	11281	143	146	3'	tr		
			11282	146	149	3'	tr		
155	185	Tuf felsique à intermédiaire; schistosité $\pm 45^\circ$ /axe; quelques veines et veinules de quartz-sidérite dans toutes les directions; trace de Py	11283	149	152	3'	tr		
			11284	152	155	3'	tr		
			11285	155	158	3'	tr		
			11286	158	161	3'	tr		
			11287	161	164	3'	tr		
			11288	164	167	3'	tr		
		De 170 à 177.5 nombreuses veines (1 à 5 cm) et veinules de quartz-sidérite dans toutes les directions; trace de Py	11289	167	170	3'	tr		
			11290	170	173	3'	tr		
			11291	173	176	3'	tr		
			11292	176	179	3'	tr		
			11293	179	182	3'	tr		
35	197	Tuf intermédiaire; schistosité $\pm 45^\circ$ /axe; quelques veinules de quartz-sidérite avec altérations en limonite, généralement à $\pm 45^\circ$ /axe	11294	182	185	3'	tr		
			11295	185	188	3'	tr		
			11296	188	191	3'	tr		
		De 191 à 193 nombreuses veines (3 à 10 cm) de quartz-sidérite; $\pm 45^\circ$ /axe	11297	191	194	3'	tr		
			11298	194	197	3'	tr		
197	320	Basalte/Andésite; schistosité $\pm 45^\circ$ /axe; quelques veinules de quartz-sidérite; $\pm 45^\circ$ /axe De 199 à 206; $\pm 3\%$ de magnétite disséminée							

CAROTTE DE	A	DESCRIPTION	NO	ECHANTILLON		LONG	ANALYSE		
				DE	A		Au/t	Ag/t	Cu
		De 203 à 205 quelques fractures $\pm 45^\circ$ /axe	11299	203	205	2'		tr	
		De 216 à 225 nombreuses veines (3 à 10 cm) de quartz-calcite; $\pm 45^\circ$ /axe	11300	216	219	3'		tr	
			11301	219	222	3'		tr	
			11302	222	225	3'		tr	
		De 230 à 236; $\pm 5\%$ de magnétite disséminée							
		De 235 à 238 quelques fractures $\pm 45^\circ$ /axe	11303	235	238	3'		tr	
		De 241 à 244 quelques sections fracturées; $\pm 45^\circ$ /axe	11304	241	245	4'		tr	
		De 246 à 249 quelques veinules de sidérite; $\pm 60^\circ$ /axe; Py et trace de Cp	11305	246	249	3'		tr	
		De 249 à 253 quelques veinules de quartz-sidérite; trace de Py	11306	249	251	2'		tr	
			11307	251	253	2'		tr	
		De 253 à 258 veine de sidérite-quartz avec fragments d'andésite; $\pm 50^\circ$ /axe	11308	253	255	2'		tr	
			11309	255	257	2'		tr	
			11310	257	258	1'		tr	
		De 256 à 258 très altérée en limonite	11311	268	271	3'		tr	
			11312	271	274	3'		tr	
		De 268 à 274 brèche $\pm 45^\circ$ /axe	11313	280	283	3'		tr	
		De 280 à 286; de 290 à 293; nombreuses fractures; $\pm 45^\circ$ /axe	11314	283	286	3'		tr	
			11315	290	293	3'		tr	
			11316	296	299	3'		tr	
		De 296 à 299 nombreuses fractures; $\pm 90^\circ$ /axe	11317	303	306	3'		tr	
			11318	306	309	3'		tr	
		De 303 à 318 brèche $\pm 50^\circ$ /axe; altérations en épidote, chlorite	11319	309	312	3'		tr	
			11320	312	315	3'		tr	
			11321	315	318	3'		tr	
320	334	Dacite; schistosité $\pm 45^\circ$ /axe; très rares veinules de sidérite dans la schistosité	11322	320	323	3'		tr	
			11323	323	326	3'		tr	
			11324	326	329	3'		tr	
		A 322.5 fracturation sur quelques cm à $\pm 45^\circ$ /axe	11325	329	332	3'		tr	
			11326	332	334	2'		tr	
34	407.5	Basalte/Andésite; schistosité $\pm 45^\circ$ /axe; quelques veinules de sidérite dans toutes les directions							
		De 336 à 384 brèche $\pm 45^\circ$ /axe avec nombreuses veinules de quartz-sidérite; altérations en épidote, chlorite et limonite	11327	336	339	3'		tr	
			11328	339	342	3'		tr	
			11329	342	345	3'		tr	
			11330	345	348	3'		tr	

CAROTTE DE	A	DESCRIPTION	NO	ECHANTILLON		LONG	ANALYSE		
				DE	A		Au/t	Ag/t	Cu
		A 348.5 fracturation intense	11331	348	351	3'			tr
		sur quelques cm à $\pm 45^\circ$ /axe	11332	351	354	3'			tr
		De 355 à 358; de 361 à 362;	11333	354	357	3'			tr
		nombreuses fractures $\pm 45^\circ$ /axe	11334	357	360	3'			tr
		De 373 à 376 section forte-	11335	360	363	3'			tr
		ment altérée en limonite	11336	363	366	3'			tr
		De 376 à 384 présence de	11337	366	369	3'			tr
		magnétite disséminée	11338	369	372	3'			tr
		De 384.5 à 385 brèche	11339	372	375	3'			tr
		$\pm 45^\circ$ /axe	11340	375	378	3'			tr
		De 386 à 394.5 nombreuses	11341	378	381	3'			tr
		veinules de sidérite et très	11342	381	384	3'			tr
		altérée en limonite	11343	384	387	3'			tr
		De 393 à 394.5 fracturation	11344	387	390	3'			tr
		intense	11345	390	393	3'			tr
		De 400 à 403 quelques	11346	393	394.5	1.5'			tr
		fractures $\pm 45^\circ$ /axe	11347	400	403	3'			tr
07.5	414.5	Dacite; schistosité $\pm 50^\circ$ /axe;	11348	407.5	410.5	3'			tr
		rare veinules de quartz et	11349	410.5	412.5	2'			tr
		sidérite dans la schistosité							
		De 412.5 à 413 fracturation	11350	412.5	414.5	2'			tr
		intense $\pm 70^\circ$ /axe							
14.5	484	Diorite; contact $\pm 60^\circ$ /axe;							
		rare veinules de quartz-							
		sidérite; texture ophitique;							
		altérée en épidote							
		De 414.5 à 418.5 contient des	11351	414.5	416.5	2'			tr
		bandes de dacite (3 à 10 cm);	11352	416.5	418.5	2'			tr
		$\pm 50^\circ$ /axe	11353	418.5	421.5	3'			tr
		De 426 à 434 nombreuses frac-	11354	426	429	3'			tr
		tures à $\pm 60^\circ$ /axe	11355	429	432	3'			tr
		De 437 à 446 nombreuses vei-	11356	432	434	2'			tr
		nules de sidérite altérée en	11357	434	437	3'			tr
		limonite dans toutes les	11358	437	440	3'			tr
		directions	11359	440	443	3'			tr
		De 456 à 462 nombreuses vei-	11360	443	446	3'			tr
		nules de sidérite altérée en	11361	456	459	3'			tr
		limonite dans toutes les	11362	459	462	3'			tr
		directions							
		De 466 à 472 quelques frac-	11363	466	469	3'			tr
		tures à $\pm 50^\circ$ /axe; abondance	11364	469	472	3'			tr
		de veinules de sidérite alté-							
		rée en limonite dans toutes							
		les directions							

CAROTTE DE	A	DESCRIPTION	NO	ECHANTILLON		LONG	ANALYSE		
				DE	A		Au/t	Ag/t	Cu
		N.B. Erreur de 20' en surplus dans la profondeur; après le bloc 476, le bloc 506 est en réalité 486							
		De 478 à 484 nombreuses veinules de sidérite avec limonite dans toutes les directions	11365	478	481	3'		tr	
			11366	481	484	3'		tr	
34	504	Andésite; schistosité $\pm 50^\circ$ /axe; rares veinules de sidérite dans toutes les directions; légèrement altérée en épidote	11367	484	487	3'		tr	
		De 487 à 490 quelques fractures $\pm 60^\circ$ /axe	11368	487	490	3'		tr	
		De 492 à 494 quelques fractures $\pm 30^\circ$ /axe	11369	492	494	2'		tr	
		De 497 à 500 quelques fractures sub-parallèle à l'axe	11370	497	500	3'		tr	
			11371	501	504	3'		tr	
504	549.5	Diorite; contact supérieur $\pm 45^\circ$ /axe; veinules de sidérite sur certaines sections; légèrement altérée en épidote; texture ophitique							
		De 504 à 515 nombreuses veinules de sidérite dans toutes les directions; altérées en limonite	11372	504	507	3'		tr	
			11373	507	510	3'		tr	
			11374	510	513	3'		tr	
			11375	513	515	2'		tr	
		De 536 à 539 fortement altérée en épidote	11376	536	539	3'		tr	
		De 544 à 547 quelques veinules de quartz-sidérite; $\pm 45^\circ$ /axe et quelques fractures à $\pm 60^\circ$ /axe	11377	544	547	3'		tr	
			11378	547	549.5	2.5'		tr	
549.5	560	Dacite; schistosité $\pm 45^\circ$ /axe; trace de Py	11379	549.5	552	2.5'		tr	
			11380	552	555	3'		tr	
		De 555 à 560 quelques veinules de quartz-sidérite; $\pm 20^\circ$ /axe	11381	555	558	3'		tr	
			11382	558	560	2'		tr	

TROU No: VJ-4
FEUILLE No: 6 de 11

CAROTTE DE	A	DESCRIPTION	NO	ECHANTILLON		LONG	ANALYSE		
				DE	A		Au/t	Ag/t	Cu
50	859.5	Diorite; quelques veinules de quartz-calcite dans toutes les directions; texture ophitique; légèrement altérée en épidote et limonite à certains endroits	11383	560	563	3'			tr
		De 567 à 571 brèche et fracturation; $\pm 45^\circ$ /axe; nombreuses veinules de quartz et calcite dans toutes les directions	11384	567	570	3'			tr
		De 571 à 578 nombreuses fractures $\pm 45^\circ$ /axe; abondance de sidérite et limonite	11385	570	573	3'			tr
		De 578 à 607 nombreuses veinules de quartz-sidérite avec limonite dans toutes les directions	11386	573	576	3'			tr
		De 611 à 614 quelques fractures $\pm 50^\circ$ /axe	11387	576	578	2'			tr
		A 617.5 fracturation sur quelques cm; $\pm 50^\circ$ /axe	11388	578	581	3'			tr
		De 622 à 624 dacite $\pm 50^\circ$ /axe	11389	581	584	3'			tr
		De 651 à 656 fracturation avec présence de spéularite; $\pm 60^\circ$ /axe	11390	584	587	3'			tr
		De 664 à 667; de 674 à 680; fortes altérations en limonite	11391	587	590	3'			tr
		De 692 à 700 nombreuses fractures $\pm 80^\circ$ /axe et altération en limonite	11392	590	593	3'			tr
		De 734 à 739 nombreuses fractures $\pm 50^\circ$ /axe	11393	593	596	3'			tr
		De 743 à 749 nombreuses fractures $\pm 50^\circ$ /axe	11394	596	599	3'			tr
		De 754 à 758 fracturation intense $\pm 60^\circ$ /axe; trace de Py	11395	599	602	3'			tr
		De 759 à 761 fracturation intense $\pm 60^\circ$ /axe	11396	602	605	3'			tr
		De 762 à 766 fracturation intense de 30 à 60°/axe	11397	605	607	2'			tr
		De 770 à 776 quelques veinules de quartz pyriteuses sub-parallèle à l'axe	11398	611	614	3'			tr
			11399	617	618	1'			tr
			11400	619	622	3'			tr
			11401	622	624	2'			tr
			11402	624	627	3'			tr
			11403	651	654	3'			tr
			11404	654	656	2'			tr
			11405	664	667	3'			tr
			11406	674	677	3'			tr
			11407	677	680	3'			tr
			11408	692	695	3'			tr
			11409	695	698	3'			tr
			11410	698	700	2'			tr
			11411	734	737	3'			tr
			11412	737	739	2'			tr
			11413	743	746	3'			tr
			11414	746	749	3'			tr
			11415	754	757	3'			tr
			11416	757	760	3'			tr
			11417	760	763	3'			tr
			11418	763	766	3'			tr
			11419	770	773	3'			tr
			11420	773	776	3'			tr

TROU No: VJ-4
FEUILLE No: 7 de 11

CAROTTE DE A	DESCRIPTION	NO	ECHANTILLON		LONG	ANALYSE		
			DE	A		Au/t	Ag/t	Cu
	De 779 à 780 fractures ±20°/axe	11421	779	780	1'		tr	
	De 790.5 à 793.5 quelques fractures ±20°/axe	11422	790.5	793.5	3'		tr	
	De 805.5 à 808.5 quelques veines (moins de 3 cm) de quartz et de sidérite; ±45°/axe	11423	805.5	808.5	3'		tr	
	De 812 à 814 quelques veines de quartz et sidérite (moins de 10 cm); ±50°/axe	11424	812	814	2'		tr	
	De 826 à 832 quelques veinules de sidérite dans toutes les directions; altérées en limonite; trace de Py	11425 11426	826 829	829 832	3' 3'		tr tr	
	De 850.5 à 859.5 quelques veinules de sidérite sub- parallèle à l'axe	11427 11428 11429	850.5 853.5 856.5	853.5 856.5 859.5	3' 3' 3'		tr tr tr	
59.5 1009	Andésite; schistosité ±50°/axe; rares veinules de sidérite dans toutes les directions	11430	859.5	862.5	3'		tr	
	De 869 à 871 dacite; contact ±50°/axe; quelques veinules de sidérite dans toutes les directions	11431	869	871	2'		tr	
	De 875 à 876 bandes de dacite avec fracturation intense; ±50°/axe	11432	875	876	1'		tr	
	De 878 à 879 fracturation ±45°/axe	11433	878	879	1'		tr	
	De 909 à 915 texture brèchi- que; ±50°/axe; quelques veines de quartz-sidérite (moins de 5 cm)	11434 11435	909 912	912 915	3' 3'		tr tr	
	De 931 à 936 quelques grains de magnétite disséminés							
	De 936 à 943 légèrement altérée en épidote	11436	936	939	3'		tr	
	De 940 à 941 fracturation intense ±45°/axe	11437 11438	939 941	941 943	2' 2'		tr tr	
	De 947 à 953; ±3% de magné- tite disséminée							

CAROTTE DE A	DESCRIPTION	NO	ECHANTILLON		LONG	ANALYSE		
			DE	A		Au/t	Ag/t	Cu
	De 947 à 956 nombreuses	11439	947	950	3'		tr	
	veinules de sidérite dans	11440	950	953	3'		tr	
	toutes les directions	11441	953	956	3'		tr	
	De 948.5 à 949.5 fracturation	11442	956	959	3'		tr	
	intense	11443	959	962	3'		tr	
	De 956 à 972 brèche ±45°/axe;	11444	962	965	3'		tr	
	abondance de quartz et	11445	965	968	3'		tr	
	sidérite; altérations en	11446	968	970	2'		tr	
	épidote, chlorite et limonite							
	De 970 à 971 fracturation	11447	970	972	2'		tr	
	intense							
	De 972 à 974 quelques	11448	972	974	2'		tr	
	veinules de quartz-sidérite							
	et fractures; ±50°/axe							
	A 976.5 fracturation intense	11449	976	977	1'		tr	
	sur quelques cm; ±45°/axe							
	De 977 à 979 quelques grains							
	de magnétite disséminés							
	De 982 à 983 quelques veines	11450	982	983	1'		tr	
	de quartz-sidérite (1 à 3							
	cm); ±50°/axe							
	De 999 à 1003 dacite;	11451	999	1001	2'		tr	
	schistosité ±50°/axe	11452	1001	1003	2'		tr	
1009	1046	Dacite; schistosité ±50°/axe;	11453	1009	1012	3'	tr	
	quelques veinules de sidérite	11454	1012	1015	3'		tr	
	surtout dans la schistosité;	11455	1015	1018	3'		tr	
	trace de Py disséminée	11456	1018	1021	3'		tr	
1046	1196	Andésite/Basalte; schistosité	11457	1021	1024	3'	tr	
	±50°/axe; rares veinules de	11458	1024	1027	3'		tr	
	quartz-sidérite dans toutes	11459	1027	1030	3'		tr	
	les directions; trace de Py	11460	1030	1033	3'		tr	
		11461	1033	1036	3'		tr	
	N.B. La boîte 52 a été	11462	1036	1039	3'		tr	
	renversée à la foreuse. Les	11463	1039	1042	3'		tr	
	profondeurs entre 1061 et	11464	1042	1044	2'		tr	
	1072 sont incertaines.	11465	1044	1046	2'		tr	
	A 1061 veine de quartz et	11466	1060	1062	2'		tr	
	sidérite (15 cm); ±50°/axe							
	De 1068 à 1074 fracturation	11467	1068	1071	3'		tr	
	intense; ±50°/axe	11468	1071	1074	3'		tr	
	De 1074 à 1077 nombreuses	11469	1074	1077	3'		tr	
	fractures; ±60°/axe							
	De 1077 à 1080 quelques	11470	1077	1080	3'		tr	
	veines de quartz pyriteuses							
	(moins de 3 cm); ±50°/axe							

CAROTTE DE A	DESCRIPTION	NO	ECHANTILLON		LONG	ANALYSE		
			DE	A		Au/t	Ag/t	Cu
	De 1081 à 1088 quelques grains de magnétite disséminés							
	De 1091 à 1121; ±3% de grains de magnétite disséminés							
	De 1101 à 1103 nombreuses fractures; ±50°/axe	11471	1101	1103	2'		tr	
	De 1111 à 1113 quelques veinules de quartz-sidérite; ±50°/axe	11472	1111	1113	2'		tr	
	A 1125 veine de quartz-sidérite (10 cm); ±50°/axe	11473	1124.5	1125.5	1'		tr	
	De 1135 à 1138 nombreuses veinules de quartz-sidérite à ±50 et à ±20°/axe	11474	1135	1138	3'		tr	
	De 1144 à 1150 nombreuses veinules de quartz-sidérite avec épidote surtout sub-parallèle à l'axe	11475 11476	1144 1147	1147 1150	3' 3'		tr tr	
	De 1164 à 1165 quelques fractures; ±50°/axe	11477	1164	1166	2'		tr	
	De 1191 à 1194 nombreuses veinules de calcite et sidérite; trace de Py; ±45°/axe	11478	1191	1194	3'		tr	
1196	1216.5	Dacite; schistosité ±50°/axe; rares veinules de calcite et sidérite dans toutes les directions; ±1% Py disséminée	11479 11480 11481 11482	1196 1199 1202 1205	1199 1202 1205 1208	3' 3' 3' 3'	tr tr tr tr	
1	16.5 1240.5	Basalte/Andésite; schistosité ±50°/axe; rares veinules de sidérite, surtout à ±50°/axe; trace de Py	11483 11484 11485	1208 1211 1214	1211 1214 1216.5	3' 3' 2.5'	tr tr tr	
		De 1216.5 à 1233; ±3% Py disséminée						
		De 1221 à 1226 quelques veinules de sidérite avec spécularite	11486 11487 11488	1221 1224 1237.5	1224 1226 1240.5	3' 2' 3'	tr tr tr	
1	40.5 1254	Diorite; contact ±70°/axe; texture ophitique; légèrement altérée en épidote	11489	1240.5	1243.5	3'	tr	
		De 1249 à 1252 quelques veinules de quartz-sidérite dans toutes les directions	11490	1249	1252	3'	tr	

CAROTTE DE	A	DESCRIPTION	NO	ECHANTILLON		LONG	ANALYSE		
				DE	A		Au/t	Ag/t	Cu
		A 1250 veine de quartz- sidérite-calcite (15 cm)	11491	1252	1254	2'		tr	
1254	1268	Dacite; schistosité $\pm 60^\circ$ /axe; rares veinules de sidérite et calcite dans toutes les directions; $\pm 1\%$ Py disséminée	11492 11493 11494	1254 1257 1260	1257 1260 1263	3' 3' 3'		tr tr tr	
		De 1263 à 1268 nombreuses fractures; $\pm 60^\circ$ /axe	11495 11496	1263 1266	1266 1268	3' 2'		tr tr	
1258	1284	Basalte/Andésite; schistosité $\pm 60^\circ$ /axe; rares veinules de calcite et sidérite dans toutes les directions							
		De 1268 à 1280 beaucoup de fracturation de 60 à 70°/axe	11497 11498	1268 1271	1271 1274	3' 3'		tr tr	
		De 1274 à 1276 gouge et fracturation intense	11499	1274	1277	3'		tr	
		De 1277.5 à 1278.5 dacite $\pm 60^\circ$ /axe	11500	1277	1280	3'		tr	
		De 1278.5 à 1279 fracturation intense; 1 à 2% Py disséminée	11501 11502	1280 1282	1282 1284	2' 2'		tr tr	
1284	1301	Dacite; schistosité $\pm 60^\circ$ /axe; rares veinules de quartz- sidérite-calcite; 1 à 2% Py disséminée	11503 11504 11505 11506	1284 1287 1290 1293	1287 1290 1293 1296	3' 3' 3' 3'		tr tr tr tr	
		De 1294.5 à 1295.5 fractura- tion intense; $\pm 60^\circ$ /axe	11507	1296	1299	3'		tr	
		De 1300 à 1301 très fracturée $\pm 60^\circ$ /axe	11508	1299	1301	2'		tr	
1301	1322	Diorite; contact $\pm 60^\circ$ /axe; rares veinules de quartz- sidérite avec spéularite; texture ophitique	11509 11510	1301 1319	1304 1322	3' 3'		tr tr	
1322	1406	Andésite; schistosité $\pm 60^\circ$ /axe; rares veinules de quartz-calcite-sidérite dans toutes les directions							
		De 1322 à 1327 quelques veinules de quartz-calcite- sidérite; légère altération en épidote; $\pm 60^\circ$ /axe	11511 11512	1322 1325	1325 1327	3' 2'		tr tr	
		De 1333 à 1336 quelques veinules de quartz-sidérite dans toutes les directions	11513	1333	1336	3'		tr	

TROU No: VJ-4
FEUILLE No: 11 de 11

CAROTTE DE	A	DESCRIPTION	NO	ECHANTILLON DE	A	LONG	ANALYSE Au/t Ag/t Cu
		A partir de 1330 les grains sont légèrement plus grossiers et ont une texture ophitique					
		De 1359 à 1361 quelques fractures $\pm 50^\circ$ /axe	11514	1359	1361	2'	tr
		De 1372.5 à 1375.5 nombreuses veinules de sidérite avec spécularite dans toutes les directions	11515	1372.5	1375.5	3'	tr
		De 1399 à 1400 nombreuses fractures $\pm 80^\circ$ /axe	11516	1399	1400	1'	tr

FIN DU TROU 1406'

RESSOURCES VASSAN INC.
400, 3^e AVENUE
VAL D'OR, Qc
J9P 1R9

JOURNAL DE SONDAGE AU DIAMANT

TERRAIN: Joutel
CLAIM No: 436989-3
ELEVATION ORIFICE: Surface
AZIMUTH: 0' = 45° 300' = 46°
600' = 49° 900' = 46°
1104' = 49°

CANTON: Joutel
RANG: II LOT No: --
ORIENTATION: 140°N
LONGUEUR TOTALE: 1104'
COORDONNEES ORIFICE:
LAT: 0+75W DEP: 1+25S

TROU No: VJ-6
FEUILLE No: 1 de 4
COMMENCE LE 11/02/87
TERMINE LE 19/02/87
JOURNAL PAR J. Munger

CAROTTE DE	A	DESCRIPTION	NO	ECHANTILLON		ANALYSE			
				DE	A	LONG	Au/t	Ag/t	Cu
0	80	Mort-terrain							
80	326	Andésite; schistosité ±30°/axe; quelques veinules de quartz surtout dans la schistosité; légèrement altérée en épidote							
		De 80 à 100 nombreuses frac- tures dans la schistosité	11631	80	83	3'		tr	
			11632	83	86	3'		tr	
		De 81 à 82; ±5% Py disséminée	11633	86	89	3'		tr	
		De 103 à 106 quelques frac- tures; ±30°/axe	11634	89	92	3'		tr	
			11635	92	95	3'		tr	
		De 138 à 150 nombreuses frac- tures; ±30°/axe	11636	95	98	3'		tr	
			11637	98	100	2'		tr	
		De 179 à 187 nombreuses frac- tures de 30 à 50°/axe; quel- ques grains de magnétite	11638	103	106	3'		tr	
			11639	138	141	3'		tr	
		disséminés	11640	141	144	3'		tr	
			11641	144	147	3'		tr	
		A 196.5 veine de calcite- sidérite; ±45°/axe	11642	147	150	3'		tr	
			11643	179	182	3'		tr	
		De 239 à 251 nombreuses vei- nules de quartz-calcite à	11644	182	185	3'		tr	
			11645	185	187	2'		tr	
		±15°/axe et nombreuses frac- tures dans la même direction	11646	196	197	1'		tr	
			11647	239	242	3'		tr	
		De 261 à 269 nombreuses veinules de quartz-calcite et	11648	242	245	3'		tr	
			11649	245	248	3'		tr	
		nombreuses fractures;	11650	248	251	3'		tr	
		±30°/axe	11651	261	264	3'		tr	

CAROTTE DE	A	DESCRIPTION	NO	ECHANTILLON		LONG	ANALYSE		
				DE	A		Au/t	Ag/t	Cu
		De 274 à 276 nombreuses fractures; $\pm 30^\circ$ /axe	11652	264	267	3'		tr	
			11653	267	270	3'		tr	
		De 287 à 294 veines de quartz-calcite (3 cm); $\pm 10^\circ$ /axe	11654	274	276	2'		tr	
			11655	287	290	3'		tr	
			11656	290	292	2'		tr	
		De 323 à 326 quelques fractures; $\pm 30^\circ$ /axe	11657	292	294	2'		tr	
			11658	323	326	3'		tr	
26	346	Dacite; schistosité $\pm 30^\circ$ /axe; quelques veinules de calcite dans toutes les directions	11659	326	329	3'		tr	
			11660	329	332	3'		tr	
			11661	332	335	3'		tr	
346	370	Andésite; schistosité $\pm 45^\circ$ /axe; quelques veinules de calcite dans toutes les directions; légèrement altérée en épidote	11662	335	338	3'		tr	
			11663	338	341	3'		tr	
			11664	341	344	3'		tr	
			11665	344	346	2'		tr	
			11666	363	366	3'		tr	
		De 363 à 366 dacite; $\pm 45^\circ$ /axe	11667	366	368	2'		tr	
370	447.5	Diorite; contact supérieur à $\pm 45^\circ$ /axe; texture ophitique; $\pm 2\%$ de magnétite grossière, disséminée; rares veinules de quartz et calcite dans toutes les directions	11668	368	370	2'		tr	
			11669	370	373	3'		tr	
		De 420 à 423 quelques fractures; $\pm 50^\circ$ /axe; trace de spéularite	11670	420	423	3'		tr	
			11671	444.5	447.5	3'		tr	
447.5	458.5	Tuf felsique; laminations $\pm 45^\circ$ /axe; $\pm 2\%$ de magnétite disséminée; trace de Py	11672	447.5	450.5	3'		tr	
			11673	450.5	453.5	3'		tr	
			11674	453.5	456.5	3'		tr	
458.5	512	Diorite; texture ophitique à sub-ophitique; légèrement altérée en épidote; de 1 à 2% de grains de magnétite disséminés; rares veinules de quartz, calcite dans toutes les directions; quelques bandes à grains plus fins avec $\pm 1\%$ Py; trace de spéularite dans les veinules	11675	456.5	458.5	2'		tr	
			11676	458.5	461.5	3'		tr	
		De 474 à 476 section altérée en goethite	11677	474	476	2'		tr	

CAROTTE DE	A	DESCRIPTION	NO	ECHANTILLON		LONG	ANALYSE		
				DE	A		Au/t	Ag/t	Cu
		De 479 à 481 quelques bandes à grains plus fins avec Py; de 1 à 5 cm; à ±45°/axe	11678	479	481	2'		tr	
		De 489.5 à 492.5 quelques bandes à grains plus fins avec Py; ±45°/axe	11679	489.5	492.5	3'		tr	
			11680	499	502	3'		tr	
			11681	502	505	3'		tr	
		De 499 à 612 altération en goethite; quelques veinules avec spécularite	11682	505	508	3'		tr	
			11683	508	510	2'		tr	
			11684	510	512	2'		tr	
667	667	Andésite; schistosité ±40°/axe; légèrement altérée en épidote; de 1 à 2% de magnétite disséminée							
		De 512 à 526 altération en goethite et nombreuses fractures; ±45°/axe	11685	512	515	3'		tr	
			11686	515	518	3'		tr	
			11687	518	521	3'		tr	
		De 548 à 550 fracturation; ±80°/axe	11688	521	524	3'		tr	
			11689	524	526	2'		tr	
		De 553 à 555 fracturation intense; ±15°/axe	11690	548	550	2'		tr	
			11691	553	555	2'		tr	
		De 557 à 563 nombreuses fractures; ±15°/axe	11692	557	560	3'		tr	
			11693	560	563	3'		tr	
		De 567.5 à 569.5 section fortement altérée en épidote avec Py	11694	567.5	569.5	2'		tr	
		De 581 à 583 quelques fractures; ±70°/axe	11695	581	583	2'		tr	
		De 598 à 600 fracturation intense; ±45°/axe	11696	598	600	2'		tr	
		N.B. Erreur de profondeur du foreur, à 636', le bloc indique 616'.							
		De 651 à 656 quelques fractures; ±50°/axe	11697	651	654	3'		tr	
			11698	654	656	2'		tr	
		De 661 à 667 nombreuses fractures; ±45°/axe	11699	661	664	3'		tr	
			11700	664	667	3'		tr	
667	1104	Diorite; texture ophitique à sub-ophitique; ±2% de magnétite disséminée; légère altération en épidote	11701	667	670	3'		tr	
		De 699 à 701 quelques fractures; ±20°/axe	11702	699	701	2'		tr	

TROU No: VJ-6
FEUILLE No: 4 de 4

CAROTTE DE A	DESCRIPTION	NO	ECHANTILLON		LONG	ANALYSE		
			DE	A		Au/t	Ag/t	Cu
	De 756 à 758 section à composition granitique	11703	756	758	2'		tr	
	De 791.5 à 793.5 quelques fractures; ±70°/axe	11704	791.5	793.5	2'		tr	
	De 796 à 798 section très altérée en épidote	11705	796	798	2'		tr	
	De 804 à 806 altération en épidote avec fracturation; ±70°/axe	11706	804	806	2'		tr	
	De 822 à 827 altération en épidote et trace de spécularite	11707	822	825	3'		tr	
		11708	825	827	2'		tr	
	De 856 à 859 fracturation à ±10°/axe	11709	856	859	3'		tr	
	De 899 à 910 section très altérée en épidote et goethite	11710	899	902	3'		tr	
		11711	902	905	3'		tr	
		11712	905	908	3'		tr	
	De 921 à 924 quelques fractures; ±45°/axe	11713	908	910	2'		tr	
		11714	921	924	3'		tr	
	De 951 à 954 quelques fractures ±45°/axe et légèrement altérée en épidote et goethite	11715	951	954	3'		tr	
	De 959 à 961 quelques fractures; ±45°/axe	11716	959	961	2'		tr	
	De 981 à 987 altération en épidote avec un peu de goethite	11717	981	984	3'		tr	
		11718	984	987	3'		tr	
	De 996 à 998 quelques veinules de quartz-calcite avec altération en épidote et goethite	11719	996	998	2'		tr	
	De 1013 à 1015 section altérée en épidote	11720	1013	1015	2'		tr	
	De 1019 à 1022 section altérée en épidote et goethite	11721	1019	1022	3'		tr	
	De 1030 à 1033 section très altérée en épidote	11722	1030	1033	3'		tr	

FIN DU TROU 1104'

RESSOURCES VASSAN INC.
400, 3^e AVENUE
VAL D'OR, Qc
J9P 1R9

JOURNAL DE SONDAGE AU DIAMANT

TERRAIN: Joutel
CLAIM No: 436989-2
ELEVATION ORIFICE: Surface
ANGLE: 0' = 45° 300' = 48°
 600' = 49° 900' = 47°
 1060' = 46°

CANTON: Joutel
RANG: II LOT No: --
ORIENTATION: 140°N
LONGUEUR TOTALE: 1063'
COORDONNEES ORIFICE:
LAT: 1+80W DEP: 2+25S

TROU No: VJ-7
FEUILLE No: 1 de 5
COMMENCE LE 2/02/87
TERMINE LE 10/02/87
JOURNAL PAR J. Munger

DE	CAROTTE A	DESCRIPTION	NO	ECHANTILLON		ANALYSE			
				DE	A	LONG	Au/t	Ag/t	Cu
0	266	Mort-terrain							
266	273	Basalte; schistosité ±45°/axe; rares veinules de quartz-calcite; ±45°/axe; légère altération en épidote A 269 fracturation intense sur quelques cm; ±30°/axe De 272 à 273 nombreuses veinules de quartz-calcite; ±45°/axe	11517 11518	268.5 272	269.5 273	1' 1'	tr tr		
273	279	Dacite; schistosité ±30°/axe; texture poecilitique; trace de Py	11519 11520	273 276	276 279	3' 3'	tr tr		
279	295	Basalte; schistosité ±45°/axe; rares veinules de calcite surtout dans la schistosité De 291 à 293 bande de dacite; contact supérieur à ±20°/axe et inférieur à ±45°/axe	11521 11522 11523	288 291 293	291 293 295	3' 2' 2'	tr tr tr		
2 5	324	Dacite; schistosité ±45°/axe; quelques veinules de quartz sidérite sub-parallèle et à ±45°/axe; trace de Py De 295 à 301 quelques fractures sub-parallèle et à ±45°/axe De 306 à 310 fractures sub- parallèle à l'axe	11524 11525 11526 11527 11528 11529 11530 11531	295 298 301 304 307 310 313 316 316	298 301 304 307 310 313 316 319	3' 3' 3' 3' 3' 3' 3' 3'	tr tr tr tr tr tr tr tr		

CAROTTE E A	DESCRIPTION	NO	ECHANTILLON		LONG	ANALYSE		
			DE	A		Au/t	Ag/t	Cu
	De 314.5 à 315 fracturation sub-parallèle à l'axe	11532 11533	319 322	322 324	3' 2'	tr tr		
324 390	Basalte/Andésite; schistosité ±45°/axe; quelques veinules de calcite parfois avec sidérite, généralement à ±45°/axe; quelques sections légèrement plus grossières ont une texture ophitique; quelques grains de magnétite disséminés; légère altération en épidote	11534	324	327	3'	tr		
	De 351 à 354 quelques veinules de quartz-calcite sub-parallèle à l'axe	11535	351	354	3'	tr		
	De 371 à 373 quelques veinules de quartz-calcite-sidérite; ±15°/axe	11536	371	373	2'	tr		
	De 377 à 383 quelques veinules de quartz-calcite-sidérite avec spéularite; ±20°/axe	11537 11538 11539	377 380 387	380 383 390	3' 3' 3'	tr tr tr		
390 467	Diabase; contact supérieur à ±30°/axe; texture ophitique à granulaire, légèrement altérée en épidote et chlorite	11540 11541	390 396	393 399	3' 3'	tr tr		
	De 399 à 400.5 dacite; ±50°/axe	11542 11543	399 400.5	400.5 403.5	1.5' 3'	tr tr		
	De 416 à 418 quelques fractures à ±30°/axe	11544	416	418	2'	tr		
	De 426 à 428 quelques fractures à ±45°/axe avec spéularite	11545 11546	426 447	428 450	2' 3'	tr tr		
	De 447 à 454 nombreuses fractures sub-parallèle et à ±50°/axe	11547 11548 11549	450 452 460	452 454 462	2' 2' 2'	tr tr tr		

N.B. La boîte 11 a été renversée à la foreuse, la longueur entre 455 et 467 reste incertaine.

De 460 à 462 (profondeur incertaine) fracturation intense

CAROTTE DE	A	DESCRIPTION	NO	ECHANTILLON		LONG	ANALYSE			
				DE	A		Au/t	Ag/t	Cu	
467	582.5	Andésite; schistosité $\pm 45^\circ$ /axe; très rares veinules de quartz-calcite dans la schistosité; de 1 à 5% de magnétite disséminée								
		A 476 bande de magnétite massive (5 cm); Py; $\pm 45^\circ$ /axe	11550	475.5	476.5	1'		tr		
		De 480 à 482; $\pm 3\%$ Py dans des veinules de calcite	11551	480	482	2'		tr		
		De 485 à 487 quelques veines de magnétite massive (1 à 3 cm); Py; $\pm 45^\circ$ /axe	11552	485	487	2'		tr		
		De 498 à 500 quelques veines de magnétite (moins de 2 cm); Py	11553	498	500	2'		tr		
		De 502 à 530; de 10 à 15% de magnétite disséminée								
		De 503.5 à 505.5 quelques veinules de magnétite; Py; $\pm 45^\circ$ /axe	11554	503.5	505.5	2'		tr		
		De 541 à 543 quelques fractures; $\pm 30^\circ$ /axe	11555	541	543	2'		tr		
		De 543 à 546 quelques veinules de chlorite pyriteuses	11556	543	546	3'		tr		
		De 553 à 556 quelques fractures; $\pm 45^\circ$ /axe	11557	553	556	3'		tr		
		De 564 à 567 nombreuses fractures; $\pm 45^\circ$ /axe	11558	564	567	3'		tr		
		De 567 à 569 nombreuses veinules de calcite-chlorite pyriteuses dans toutes les directions	11559	567	569	2'		tr		
		De 569 à 582.5 nombreuses fractures de 45° à 50° /axe;	11560	569	572	3'		tr		
		quelques minces bandes de tuf felsique mélangées dans	11561	572	575	3'		tr		
		l'andésite; $\pm 3\%$ Py disséminée	11562	575	578	3'		tr		
			11563	578	580	2'		tr		
			11564	580	582.5	2.5'		tr		
5 2.5	619.5	Tuf felsique; laminations $\pm 45^\circ$ /axe; quelques laminations altérées en épidote;	11565	582.5	585.5	3'		tr		
		$\pm 2\%$ Py disséminée	11566	585.5	588.5	3'		tr		
		De 605 à 619.5 quelques fractures sub-parallèle et à $\pm 45^\circ$ /axe; le tuf est chertueux par endroit; cassures conchoïdales	11567	588.5	591.5	3'		tr		
			11568	591.5	593.5	2'		tr		
			11569	593.5	596.5	3'		tr		
			11570	596.5	599.5	3'		tr		
			11571	599.5	602.5	3'		tr		
			11572	602.5	605.5	3'		tr		
			11573	605.5	608.5	3'		tr		

CAROTTE DE A	DESCRIPTION	NO	ECHANTILLON		LONG	ANALYSE			
			DE	A		Au/t	Ag/t	Cu	
	De 593 à 619.5 quelques grains de magnétite disséminés	11574 11575 11576	608.5 611.5 614.5	611.5 614.5 617.5	3' 3' 3'	tr tr tr			
19.5 756	Diabase; contact supérieur à ±80°/axe; texture granulaire; altérée en épidote par endroit	11577 11578	617.5 619.5	619.5 622.5	2' 3'	tr tr			
	De 626 à 629 quelques veinules de quartz avec épidote de 45 à 60°/axe	11579	626	629	3'	tr			
	De 634 à 639 fortement altérée en épidote; trace de spéularite	11580 11581	634 636	636 639	2' 3'	tr tr			
	De 649 à 651 quelques veines de quartz (3 à 5 cm); ±80°/axe	11582 11583 11584	649 651 678	651 654 681	2' 3' 3'	tr tr tr			
	A 653 fracturation intense sur quelques cm; ±60°/axe	11585 11586	681 684	684 687	3' 3'	tr tr			
	De 678 à 701 nombreuses fractures; ±45°/axe	11587 11588	687 690	690 693	3' 3'	tr tr			
	De 720 à 726 quelques fractures; ±10°/axe	11589 11590	693 696	696 699	3' 3'	tr tr			
	De 736 à 739 quelques fractures à ±10 et ±60°/axe	11591 11592	699 720	701 723	2' 3'	tr tr			
	De 748 à 750 quelques fractures; ±50°/axe	11593 11594	723 736	726 739	3' 3'	tr tr			
	De 754 à 756 nombreuses fractures; ±50°/axe	11595 11596	748 753	750 756	2' 3'	tr tr			
756 782	Dacite; schistosité ±45°/axe; nombreuses fractures; ±45°/axe; de 1 à 2% Py disséminée								
	N.B. Erreur de 10' dans la profondeur, le bloc 756 a été répété 2 fois.								
	De 756 à 757 rhyolite ±45°/axe	11597 11598	756 759	759 762	3' 3'	tr tr			
	De 757 à 769 présence de spéularite dans les fractures	11599 11600 11601	762 763 766	763 766 769	1' 3' 3'	tr tr tr			
	De 762 à 763 veine de quartz et épidote avec trace de spéularite; ±45°/axe	11602 11603 11604	769 772 775	772 775 778	3' 3' 3'	tr tr tr			

CAROTTE DE	A	DESCRIPTION	NO	ECHANTILLON		ANALYSE	
				DE	A	LONG	Au/t Ag/t Cu
		De 776 à 781 fracturation intense; ±45°/axe	11605	778	780	2'	tr
			11606	780	782	2'	tr
782	1063	Diorite; texture ophitique à sub-ophitique; ±2% Py disséminée; légère altération en épidote					
		De 782 à 786 fracturation intense; ±50°/axe	11607	782	785	3'	tr
			11608	785	788	3'	tr
		De 786 à 792 nombreuses fractures; ±60°/axe	11609	788	790	2'	tr
			11610	790	792	2'	tr
		De 797 à 800 nombreuses fractures; ±50°/axe	11611	797	800	3'	tr
		De 803 à 805 quelques fractures; ±30°/axe	11612	803	805	2'	tr
		De 809 à 812 nombreuses fractures; ±45°/axe	11613	809	812	3'	tr
		De 816 à 819 quelques fractures avec limonite; ±45°/axe	11614	816	819	3'	tr
		De 826 à 829 nombreuses veinules de quartz avec épidote; ±70°/axe	11615	826	829	3'	tr
		A 832 fracturation intense sur quelques cm; ±90°/axe	11616	831.5	832.5	1'	tr
		A partir de 860; ±2% de magnétite disséminée					
		De 884 à 886 quelques fractures; ±30°/axe	11617	884	886	2'	tr
		De 892 à 892.5 veine de quartz avec épidote et trace de spéularite; ±50°/axe	11618	891.5	893	1.5'	tr
		De 914 à 916 quelques fractures; ±30°/axe	11619	914	916	2'	tr
			11620	940	943	3'	tr
		De 940 à 946 nombreuses fractures; ±50°/axe	11621	943	946	3'	tr
			11622	974	977	3'	tr
		De 974 à 977 fracturation intense; ±15°/axe	11623	981.5	983.5	2'	tr
			11624	1002	1003	1'	tr
		De 981.5 à 983.5 fracturation; ±60°/axe	11625	1046	1049	3'	tr
			11626	1049	1052	3'	tr
		De 1002 à 1003 veine de quartz et épidote; ±50°/axe	11627	1052	1055	3'	tr
			11628	1055	1058	3'	tr
		De 1046 à 1063 nombreuses fractures; ±40°/axe	11629	1058	1061	3'	tr
			11630	1061	1063	2'	tr

FIN DU TROU 1063'

RESSOURCES VASSAN INC.
400, 3^e AVENUE
VAL D'OR, Qc
J9P 1R9

JOURNAL DE SONDAGE AU DIAMANT

TERRAIN: Joutel
C AIM No: 436990-3
ELEVATION ORIFICE: Surface
ANGLE: 0' = 45° 300' = 49°
561' = 50°

CANTON: Joutel
RANG: II LOT No: --
ORIENTATION: 150°N
LONGUEUR TOTALE: 561'
COORDONNEES ORIFICE:
LAT: 7+20W DEP: 6+40S

TROU No: VJ-8
FEUILLE No: 1 de 4
COMMENCE LE 24/02/87
TERMINE LE 27/02/87
JOURNAL PAR J. Munger

CAROTTE DE A	DESCRIPTION	NO	ECHANTILLON		ANALYSE				
			DE	A	LONG	Au/t	Ag/t	Cu	
0	60	Mort-terrain							
50	280	Rhyolite; schistosité à ±50°/axe; nombreuses micro-fissures dans toutes les directions; trace de Py dans les micro-fissures	14169	60	63	3'	tr		
			14170	63	66	3'	tr		
			14171	66	69	3'	tr		
			14172	69	72	3'	tr		
			14173	72	75	3'	tr		
		De 60 à 73 très fracturée à ±50°/axe	14174	75	78	3'	tr		
			14175	78	81	3'	tr		
		De 83 à 86 fracturation intense à ±50°/axe	14176	81	84	3'	tr		
			14177	84	87	3'	tr		
		De 87.5 à 89 fracturation intense à ±70°/axe	14178	87	90	3'	tr		
			14179	90	93	3'	tr		
		De 96 à 100 légèrement altérée en épidote (quelques taches)	14180	93	96	3'	tr		
			14181	96	99	3'	tr		
			14182	99	102	3'	tr		
		A 107.5 fracturation intense à ±50°/axe sur quelques cm	14183	102	105	3'	tr		
			14184	105	108	3'	tr		
		De 116 à 119 fracturation intense de 40 à 70°/axe	14185	108	111	3'	tr		
			14186	111	114	3'	tr		
		De 123.5 à 124 fracturation intense à ±50°/axe	14187	114	117	3'	tr		
			14188	117	120	3'	tr		
		De 127 à 129 nombreuses fractures à ±80°/axe avec altérations en goethite et limonite	14189	120	123	3'	tr		
			14190	123	126	3'	tr		
			14191	126	129	3'	tr		
			14192	129	132	3'	tr		
		De 132 à 136 fracturation intense à ±70°/axe	14193	132	135	3'	tr		
			14194	135	138	3'	tr		

CAROTTE DE A	DESCRIPTION	NO	ECHANTILLON		ANALYSE		
			DE	A	LONG	Au/t Ag/t Cu	
	De 142 à 143 veine de quartz-	14195	138	141	3'	tr	
	sidérite à ±60°/axe, la sidé-	14196	141	144	3'	tr	
	rite est altérée en limonite	14197	144	147	3'	tr	
	De 148 à 148.5 fracturation	14198	147	150	3'	tr	
	intense à ±60°/axe	14199	150	153	3'	tr	
	De 150 à 155 fracturation	14200	153	155	2'	tr	
	intense à ±60°/axe	22001	157	160	3'	tr	
	De 155 à 157 cavité (veine	22002	160	163	3'	tr	
	d'eau)	22003	163	166	3'	tr	
	De 157 à 160 nombreuses frac-	22004	166	169	3'	tr	
	tures à ±50°/axe	22005	169	172	3'	tr	
	De 169 à 171 quelques fractu-	22006	172	175	3'	tr	
	res à ±40°/axe	22007	175	178	3'	tr	
	De 172 à 176 quelques fractu-	22008	178	181	3'	tr	
	res à ±40°/axe	22009	181	184	3'	tr	
	De 177.5 à 178 fracturation	22010	184	187	3'	tr	
	intense à ±60°/axe	22011	187	190	3'	tr	
	De 188 à 189 fracturation	22012	190	193	3'	tr	
	sub-parallèle à l'axe	22013	193	196	3'	tr	
	De 198 à 199 fracturation	22014	196	199	3'	tr	
	intense à ±60°/axe	22015	199	202	3'	tr	
	De 205 à 205.5 fracturation	22016	202	205	3'	tr	
	intense à ±50°/axe	22017	205	208	3'	tr	
	De 211 à 213 fracturation	22018	208	211	3'	tr	
	intense à ±40°/axe	22019	211	214	3'	tr	
	De 220 à 229 quelques	22020	214	217	3'	tr	
	veinules de quartz et	22021	217	220	3'	tr	
	sidérite dans toutes les	22022	220	223	3'	tr	
	directions et altérations en	22023	223	226	3'	tr	
	épidote	22024	226	229	3'	tr	
	De 250 à 252 quelques	22025	229	232	3'	tr	
	fractures à ±50°/axe	22026	232	235	3'	tr	
280	316	Tuf felsique; laminations à	22027	235	238	3'	tr
		±50°/axe; quelques veinules	22028	238	241	3'	tr
		de quartz-sidérite dans	22029	241	244	3'	tr
		toutes les directions,	22030	244	247	3'	tr
		légèrement altéré en épidote;	22031	247	250	3'	tr
		±1% Py disséminée	22032	250	253	3'	tr
		De 280 à 285 nombreuses	22033	253	256	3'	tr
		veinules de sidérite légèrè-	22034	256	259	3'	tr
		ment altérées en limonite	22035	259	262	3'	tr
		dans toutes les directions	22036	262	265	3'	tr
		A 292 fracturation intense à	22037	265	268	3'	tr
		±70°/axe sur quelques cm	22038	268	271	3'	tr
		De 309 à 310 fracturation à	22039	271	274	3'	tr
		±60°/axe	22040	274	277	3'	tr

CAROTTE DE	A	DESCRIPTION	NO	ECHANTILLON		LONG	ANALYSE		
				DE	A		Au/t	Ag/t	Cu
316	360	Rhyolite; schistosité à	22041	277	280	3'			tr
		±60°/axe; quelques veinules	22042	280	283	3'			tr
		de quartz-sidérinite dans	22043	283	286	3'			tr
		toutes les directions; ±1% Py	22044	286	289	3'			tr
		dans les veinules surtout	22045	289	292	3'			tr
		De 320 à 320.5 fracturation	22046	292	295	3'			tr
		intense à ±70°/axe	22047	295	298	3'			tr
		A 330 fracturation à ±70°/axe	22048	298	301	3'			tr
		sur quelques cm	22049	301	304	3'			tr
		De 335 à 336 fracturation à	22050	304	307	3'			tr
		±70°/axe	14201	307	310	3'			tr
		De 343.5 à 346 zone de	14202	310	313	3'			tr
		cisaillement à ±40°/axe;	14203	313	316	3'			tr
		nombreuses veinules de	14204	316	319	3'			tr
		quartz-sidérinite altérées en	14205	319	322	3'			tr
		limonite et épidote; quelques	14206	322	325	3'			tr
		fractures à ±40°/axe	14207	325	328	3'			tr
De 346.7 à 349 fracturation	14208	328	331	3'			tr		
intense à ±50°/axe	14209	331	334	3'			tr		
De 354.5 à 356 fracturation à	14210	334	337	3'			tr		
±40°/axe	14211	337	340	3'			tr		
300	366	Andésite; schistosité à	14212	340	343	3'			tr
		±45°/axe; quelques veinules	14213	343	346	3'			tr
		de quartz-sidérinite surtout	14214	346	349	3'			tr
		dans la schistosité; altéra-	14215	349	352	3'			tr
		tion en épidote; ±1% Py dans	14216	352	355	3'			tr
		les veinules surtout	14217	355	358	3'			tr
306	394.5	Tuf felsique; schistosité à	14218	358	360	2'			tr
		±45°/axe; quelques veinules	14219	360	363	3'			tr
		de quartz-sidérinite légèrement	14220	363	366	3'			tr
		altérées en limonite dans	14221	366	369	3'			tr
		toutes les directions; de 2 à	14222	369	372	3'			tr
		3% de Py dans les veinules	14223	372	375	3'			tr
		surtout	14224	375	378	3'			tr
		De 366 à 370 nombreuses	14225	378	381	3'			tr
		fractures de 45 à 70°/axe	14226	381	384	3'			tr
		De 373 à 373.5 quelques	14227	384	387	3'			tr
fractures à ±60°/axe	14228	387	390	3'			tr		
304.5	435.5	Rhyolite; schistosité à	14229	390	392	2'			tr
		±45°/axe; rares veinules de	14230	392	394.5	2.5'			tr
		quartz et sidérinite dans	14231	394.5	397.5	3'			tr
		toutes les directions; Py	14232	397.5	400.5	3'			tr
		dans les veinules	14233	400.5	403.5	3'			tr

CAROTTE DE A	DESCRIPTION	NO	ECHANTILLON		LONG	ANALYSE		
			DE	A		Au/t	Ag/t	Cu
	De 414.5 à 416 fracturation intense à ±60°/axe	14234 14235	403.5 406.5	406.5 409.5	3' 3'	tr		
435.5	442 Tuf felsique; schistosité à ±50°/axe; rares veinules de quartz; trace de Py dans les veinules	14236 14237 14238 14239	409.5 412.5 415.5 418.5	412.5 415.5 418.5 421.5	3' 3' 3' 3'	tr		
442	450 Rhyolite; schistosité à ±50°/axe; quelques veinules de quartz et sidérite dans toutes les directions; la sidérite est altérée en limonite; trace de Py dans les veinules	22051 22052 22053 22054 22055 22056 22057	421.5 424.5 427.5 430.5 433.5 435.5 438	424.5 427.5 430.5 433.5 435.5 438 440	3' 3' 3' 3' 2' 2.5' 2'	tr		
450	462 Tuf felsique; laminations à ±45°/axe; rares veinules de quartz et sidérite dans toutes les directions De 450 à 451 quelques fractures à ±50°/axe De 459 à 461 fracturation intense à ±60°/axe	22058 22059 22060 22061 22062 22063 22064 22065	440 442 445 448 450 453 456 459	442 445 448 450 453 456 459 462	2' 3' 3' 2' 3' 3' 3' 3'	tr		.01
442	549 Diorite; contact supérieur à ±45°/axe; texture ophitique; légèrement altérée en épidote; trace de Py disséminée De 483 à 489 quelques fractures à ±05 et à ±45°/axe De 492 à 493 fracturation intense à ±45°/axe A 504 fracturation intense sur quelques cm à ±70°/axe De 532 à 534 fracturation intense à ±70°/axe	22066 22067 22068 22069 22070 22071 22072	462 483 486 492 503.5 532 546	465 486 489 493 504.5 534 549	3' 3' 3' 1' 1' 2' 3'	tr		
59	561 Tuf felsique; schistosité à ±50°/axe; ±2% Py disséminée De 550.5 à 551.5 quelques fractures à ±45°/axe De 555 à 560 quelques fractures à ±45°/axe A 561 diorite	22073 22074 22075 22076 22077	549 552 555 558 560	552 555 558 560 561	3' 3' 3' 2' 1'	tr		

FIN DU TROU 561'

RESSOURCES VASSAN INC.
400, 3^e AVENUE
VAL D'OR, Qc
J9P 1R9

JOURNAL DE SONDAGE AU DIAMANT

TERRAIN: Joutel
CLAIM No: 436987-2
ELEVATION ORIFICE: Surface
ANGLE: 0' = 45° 200' = 43°
400' = 39° 600' = 38°
886' = 37°

CANTON: Joutel
RANG: III LOT No: --
ORIENTATION: 180°N
LONGUEUR TOTALE: 886'
COORDONNEES ORIFICE:
LAT: 6+50E DEP: 6+50N

TROU No: VJ-18
FEUILLE No: 1 de 5
COMMENCE LE 19/02/87
TERMINE LE 22/02/87
JOURNAL PAR J. Munger

CAROTTE DE	A	DESCRIPTION	NO	ECHANTILLON		ANALYSE			
				DE	A	LONG	Au/t	Ag/t	Cu
0	62	Mort-terrain							
62	183	Andésite; schistosité à ±45°/axe; quelques veinules de quartz-calcite dans la schistosité							
		De 71 à 91 très altérée en goethite	11723	71	74	3'		tr	
			11724	74	77	3'		tr	
		De 94 à 103 brèche à ±45°/axe avec abondance de veinules de quartz et calcite; altérée en épidote, limonite et goethite	11725	77	80	3'		tr	
			11726	80	83	3'		tr	
			11727	83	86	3'		tr	
			11728	86	89	3'		tr	
		De 123 à 125 section forte- ment altérée en goethite	11729	89	91	2'		tr	
			11730	94	97	3'		tr	
		De 144.5 à 146 nombreuses veinules de quartz-calcite et fracturation à ±45°/axe	11731	97	100	3'		tr	
			11732	100	103	3'		tr	
			11733	123	125	2'		tr	
		De 151 à 161 brèche à ±45°/axe; abondance de veinules de quartz-calcite	11734	144.5	146.5	2'		tr	
			11735	151	153	2'		tr	
			11736	153	155	2'		tr	
		De 161 à 165 altérée en goethite	11737	155	158	3'		tr	
			11738	158	161	3'		tr	
		De 170 à 183 brèche à ±45°/axe avec nombreuses veinules de quartz-calcite et chlorite	11739	170	173	3'		tr	
			11740	173	176	3'		tr	
			11741	176	179	3'		tr	
			11742	179	181	2'		tr	
			11743	181	183	2'		tr	

CAROTTE DE	A	DESCRIPTION	NO	ECHANTILLON		LONG	ANALYSE		
				DE	A		Au/t	Ag/t	Cu
183	234	Tuf mafique à intermédiaire;	11744	183	184	1'			tr
		laminations à ±45°/axe;	11745	184	186	2'			tr
		abondance de veinules de	11746	186	188	2'			tr
		quartz et de calcite dans	11747	188	189	1'			tr
		toutes les directions;	11748	189	192	3'			tr
		légèrement altéré en épidote	11749	192	195	3'			tr
		De 183 à 183.5 veine de	11750	195	198	3'			tr
		quartz à ±45°/axe	11751	198	201	3'			tr
		De 186.5 à 187.5 veine de	11752	201	204	3'			tr
		quartz à ±45°/axe	11753	204	207	3'			tr
		De 187 à 187.5 veine de	11754	207	210	3'			tr
		quartz à ±45°/axe	11755	210	213	3'			tr
		A 233 contact inférieur,	11756	213	216	3'			tr
		veine de quartz-calcite avec	11757	216	219	3'			tr
		fragments de tuf sur 1'	11758	219	222	3'			tr
234	244.5	Dacite; contact à ±45°/axe;	11759	222	225	3'			tr
		quelques veinules de quartz	11760	225	228	3'			tr
		et calcite dans la schis-	11761	228	231	3'			tr
		tosité	11762	231	234	3'			tr
		De 240.5 à 241.5 bande de tuf	11763	234	237	3'			tr
		intermédiaire	11764	237	240	3'			tr
244.5	342	Tuf intermédiaire à mafique;	11765	240	242	2'			tr
		schistosité à ±50°/axe;	11766	242	244.5	2.5'			tr
		nombreuses veinules de quartz	11767	244.5	247.5	3'			tr
		et de calcite dans la schis-	11768	247.5	250.5	3'			tr
		tosité	11769	250.5	252	1.5'			tr
		De 244.5 à 342 le tuf est	11770	252	255	3'			tr
		légèrement altéré en épidote	11771	255	258	3'			tr
		De 251 à 252 bande de dacite	11772	258	261	3'			tr
		à ±50°/axe	11773	261	264	3'			tr
		De 260 à 270; ±3% de spécula-	11774	264	267	3'			tr
		rite disséminée	11775	267	270	3'			tr
		De 309 à 313 veinules de	11776	270	273	3'			tr
		quartz sub-parallèle à l'axe	11777	273	276	3'			tr
		De 321 à 324 quelques	11778	276	279	3'			tr
		fractures à ±30°/axe	11779	279	282	3'			tr
342	666	Basalte/Andésite; schistosité	11780	282	285	3'			tr
		à ±45°/axe; quelques veinules	11781	285	288	3'			tr
		de quartz et calcite dans	11782	288	291	3'			tr
		toutes les directions; légè-	11783	291	294	3'			tr
		rement altéré en épidote	11784	294	297	3'			tr

CAROTTE DE A	DESCRIPTION	NO	ECHANTILLON		LONG	ANALYSE		
			DE	A		Au/t	Ag/t	Cu
	De 342 à 410; ±3% de specularite disséminée	11785	297	300	3'		tr	
		11786	300	303	3'		tr	
	De 384 à 390 veinules de quartz avec specularite sub-parallèle à l'axe	11787	303	306	3'		tr	
		11788	306	309	3'		tr	
		11789	309	312	3'		tr	
	De 392 à 395 veinules et minces veines (moins de 10 cm) de quartz et calcite à ±20°/axe	11790	312	315	3'		tr	
		11791	315	318	3'		tr	
		11792	318	321	3'		tr	
		11793	321	324	3'		tr	
	De 416 à 420 nombreuses minces veines de quartz (moins de 20 cm) à ±45°/axe	11794	324	327	3'		tr	
		11795	327	330	3'		tr	
		11796	330	333	3'		tr	
	De 420 à 458 quelques grains de magnétite disséminés	11797	333	336	3'		tr	
		11798	336	339	3'		tr	
	A 445 gouge sur quelques cm à ±80°/axe et altération en goethite	11799	339	342	3'		tr	
		11800	384	387	3'		tr	
		11801	387	390	3'		tr	
	De 458 à 490; ±5% de magnétite finement disséminée	11802	392	395	3'		tr	
		11803	416	418	2'		tr	
	De 458 à 469 nombreuses minces veines de quartz et calcite (moins de 3 cm) à ±45°/axe; trace de Py	11804	418	420	2'		tr	
		11805	444.5	445.5	1'		tr	
		11806	458	461	3'		tr	
		11807	461	464	3'		tr	
	De 504 à 517; ±3% de magnétite disséminée	11808	464	467	3'		tr	
		11809	467	469	2'		tr	
	De 558 à 562 quelques veines de quartz (de 1 à 5 cm); ±45°/axe	11810	558	560	2'		tr	
		11811	560	562	2'		tr	
	De 562 à 565.3 veine de quartz à ±45°/axe avec quelques fragments et minces bandes d'andésite; trace de Py	11812	562	563	1'		tr	
		11813	563	564	1'		tr	
		11814	564	565	1'		tr	
		11815	565	566	1'		tr	
	A 570.7 veine de quartz avec fragments d'andésite; trace de Py; 15 cm; à ±60°/axe	11816	570.5	571.5	1'		tr	
	De 612 à 618 nombreuses veines de quartz (de 1 à 10 cm) de sub-parallèle à ±45°/axe; trace Py	11817	612	615	3'		tr	
		11818	615	618	3'		tr	
	De 618 à 626 quelques veinules de quartz dans toutes les directions	11819	618	621	3'		tr	
		11820	621	624	3'		tr	
		11821	624	626	2'		tr	
	De 626 à 629 quelques fractures à ±50°/axe	11822	626	629	3'		tr	

CAROTTE DE	A	DESCRIPTION	NO	ECHANTILLON		LONG	ANALYSE		
				DE	A		Au/t	Ag/t	Cu
		De 654 à 656 nombreuses veines de quartz à ±45°/axe (de 3 à 15 cm) avec fragments d'andésite	11823	654	656	2'		tr	
		De 656 à 662 brèche à ±50°/axe avec abondance de veinules de quartz	11824	656	659	3'		tr	
			11825	659	662	3'		tr	
66	689	Dacite; schistosité à ±50°/axe; rares veinules de quartz dans la schistosité	11826	666	669	3'		tr	
			11827	669	672	3'		tr	
			11828	672	675	3'		tr	
		De 678 à 681 quelques fractures et gouges à ±70°/axe	11829	675	678	3'		tr	
			11830	678	681	3'		tr	
			11831	681	684	3'		tr	
69	821	Andésite/Basalte; schistosité à ±50°/axe; quelques veinules de quartz dans la schistosité	11832	684	687	3'		tr	
			11833	687	689	2'		tr	
		De 701 à 708 nombreuses veinules et veines de quartz (moins de 10 cm) surtout à ±45°/axe	11834	701	704	3'		tr	
			11835	704	707	3'		tr	
			11836	707	708	1'		tr	
			11837	708	710	2'		tr	
		De 707.5 à 708 veine de quartz; ±45°/axe	11838	710	712.5	2.5'		tr	
			11839	720.5	723	2.5'		tr	
		De 708 à 712.5 dacite avec schistosité à ±50°/axe	11840	723	725	2'		tr	
			11841	731	734	3'		tr	
		De 720.5 à 725 rhyolite à ±50°/axe; trace de Py	11842	749	751	2'		tr	
			11843	751	753	2'		tr	
		De 731 à 734 nombreuses veinules de quartz dans toutes les directions	11844	756	759	3'		tr	
			11845	759	762	3'		tr	
			11846	762	765	3'		tr	
		De 749 à 753 nombreuses veinules de quartz et quelques fractures à ±60°/axe	11847	765	768	3'		tr	
			11848	768	771	3'		tr	
			11849	771	774	3'		tr	
		De 756 à 767 mylonite à ±60°/axe; ±2% Py disséminée; légère altération en épidote	11850	774	777	3'		tr	
			11851	813	815	2'		tr	
			11852	818	821	3'		tr	
		De 767 à 777 brèche à ±60°/axe; ±2% Py; légère altération en épidote	11853	821	824	3'		tr	
			11854	824	827	3'		tr	
			11855	827	830	3'		tr	
		De 813 à 815 quelques veinules de quartz et calcite à ±45°/axe	11856	830	833	3'		tr	
			11857	833	836	3'		tr	
			11858	836	839	3'		tr	
		De 818 à 821 fracturation intense à ±70°/axe	11859	839	842	3'		tr	
			11860	842	845	3'		tr	

TROU No: VJ-18
 FEUILLE No: 5 de 5

CAROTTE DE	A	DESCRIPTION	NO	ECHANTILLON		ANALYSE			
				DE	A	LONG	Au/t	Ag/t	Cu
821	886	Dacite; schistosité à ±50°/axe; trace de Py	11861	845	848	3'	tr		
		De 821 à 821.5 fracturation intense à ±70°/axe	11862	848	851	3'	tr		
		De 821.5 à 824 rhyolite à ±50°/axe avec quelques veinules de quartz avec spécularite dans toutes les directions	11863	851	854	3'	tr		
		De 853.5 à 854 fracturation intense à ±70°/axe	11864	854	857	3'	tr		
		De 866 à 868 nombreuses veinules de quartz dans toutes les directions	11865	857	860	3'	tr		
			11866	860	863	3'	tr		
			11867	863	866	3'	tr		
			11868	866	869	3'	tr		
			11869	869	872	3'	tr		
			11870	872	875	3'	tr		
			11871	875	878	3'	tr		
			11872	878	881	3'	tr		
			11873	881	884	3'	tr		
			11874	884	886	2'	tr		

FIN DU TROU 886'

RESSOURCES VASSAN INC.
 400, 3^e AVENUE
 VAL D'OR, Qc
 J9P 1R9

JOURNAL DE SONDRAGE AU DIAMANT

TERRAIN: Joutel	CANTON: Joutel	TROU No: VJ-19
CLAIM No: 436987-2	RANG: III LOT No: --	FEUILLE No: 1 de 4
ELEVATION ORIFICE: Surface	ORIENTATION: 180°N	COMMENCE LE 23/02/87
ANGLE: 0' = 45° 200' = 46°	LONGUEUR TOTALE: 816'	TERMINE LE 25/02/87
400' = 44° 600' = 46°	COORDONNEES ORIFICE:	JOURNAL PAR J. Munger
800' = 47°	LAT: 5+00E DEP: 7+00N	

DE	CAROTTE A	DESCRIPTION	NO	ECHANTILLON		ANALYSE			
				DE	A	LONG	Au/t	Ag/t	Cu
0	30	Mort-terrain							
30	104	Andésite; schistosité à ±50°/axe; légèrement altérée en épidote; quelques veinules de quartz-calcite-sidérite dans toutes les directions							
		De 32 à 38 brèche sub-parallèle à l'axe, avec abondance de veinules de quartz; altérée en épidote et goethite	11875	32	35	3'		tr	
		De 37 à 37.5 veine de quartz à ±80°/axe	11876	35	38	3'		tr	
		De 48 à 51 section altérée en goethite	11877	48	51	3'		tr	
		De 59 à 61 nombreuses veinules de quartz surtout à ±50°/axe	11878	59	61	2'		tr	
		A 64.5 fracture altérée en goethite à ±70°/axe	11879	64	65	1'		tr	
		De 76 à 78 section altérée en goethite	11880	76	78	2'		tr	
		De 82 à 88 section altérée en goethite avec quelques fractures à ±50 et à ±70°/axe	11881	82	85	3'		tr	
			11882	85	88	3'		tr	

CAROTTE DE	A	DESCRIPTION	NO	ECHANTILLON		ANALYSE		
				DE	A	LONG	Au/t	Ag/t
		De 88 à 94 nombreuses	11883	88	91	3'		tr
		veinules de quartz et frac-	11884	91	94	3'		tr
		tures à ±60°/axe; altérations						
		en goethite; quelques minces						
		bandes de dacite (moins de 15						
		cm)						
104	135.5	Dacite; schistosité à	11885	104	107	3'		tr
		±50°/axe; quelques veinules	11886	107	110	3'		tr
		de quartz surtout dans la	11887	110	113	3'		tr
		schistosité	11888	113	116	3'		tr
		De 104 à 115 altération en	11889	116	119	3'		tr
		goethite	11890	119	122	3'		tr
		De 132 à 133 nombreuses	11891	122	125	3'		tr
		veines de quartz (moins de 10	11892	125	128	3'		tr
		cm) à ±50°/axe	11893	128	131	3'		tr
		De 133.5 à 134 fracturation	11894	131	133	2'		tr
		intense à ±70°/axe	11895	133	135.5	2.5'		tr
35.5	201	Tuf intermédiaire à mafique;	11896	135.5	138.5	3'		tr
		schistosité à ±60°/axe;	11897	138.5	141.5	3'		tr
		nombreuses veinules de quartz	11898	141.5	144.5	3'		tr
		surtout dans la schistosité;	11899	144.5	146	1.5'		tr
		légère altération en épidote	11900	146	148	2'		tr
		A 136.5 fracturation à	11901	148	151	3'		tr
		±80°/axe sur quelques cm	11902	151	153	2'		tr
		De 146 à 147.5 quelques	11903	153	156	3'		tr
		veines de quartz (moins de 5	11904	156	159	3'		tr
		cm) à ±45°/axe	11905	159	162	3'		tr
		De 148 à 153 le tuf est	11906	162	165	3'		tr
		envahi de quartz (±60% de la	11907	165	168	3'		tr
		roche) dans toutes les	11908	168	171	3'		tr
		directions avec quelques	11909	171	174	3'		tr
		fractures à ±70°/axe	11910	174	177	3'		tr
		De 197 à 198 bande de	11911	177	180	3'		tr
		rhyolite à ±50°/axe	11912	180	183	3'		tr
		De 198 à 201 nombreuses	11913	183	186	3'		tr
		fractures sub-parallèle et à	11914	186	189	3'		tr
		±50°/axe	11915	189	192	3'		tr
201	632	Basalte/Andésite; schistosité	11916	192	195	3'		tr
		à ±50°/axe; de 3 à 5% de	11917	195	198	3'		tr
		magnétite disséminée;	11918	198	201	3'		tr
		légèrement altérée en épidote						
		De 229 à 231 quelques	11919	229	231	2'		tr
		fractures à ±30°/axe						

CAROTTE DE	A	DESCRIPTION	NO	ECHANTILLON		LONG	ANALYSE		
				DE	A		Au/t	Ag/t	Cu
		A 234 fracturation intense sur quelques cm à $\pm 80^\circ$ /axe	11920	233.5	234.5	1'		tr	
		De 291 à 293 quelques veinules de quartz et veinules de spéularite à $\pm 50^\circ$ /axe	11921	291	293	2'		tr	
		De 316 à 319 quelques veines de quartz (moins de 5 cm) de sub-parallèle à $\pm 15^\circ$ /axe	11922	316	319	3'		tr	
		De 357 à 358 veine de quartz avec fragments d'andésite à $\pm 20^\circ$ /axe	11923	357	358	1'		tr	
		A 365.5 veine de quartz avec magnétite (10 cm) à $\pm 50^\circ$ /axe	11924	365	366	1'		tr	
		De 378 à 381 quelques veinules de quartz à $\pm 30^\circ$ /axe	11925	378	381	3'		tr	
		De 406 à 406.4 gouge à $\pm 90^\circ$ /axe	11926	405.5	406.6	1.1'		tr	
		De 410.5 à 413.5 veine de quartz à $\pm 45^\circ$ /axe avec minces bandes de chlorite	11927	410	411	1'		tr	
			11928	411	412	1'		tr	
			11929	412	413	1'		tr	
		De 437 à 443 nombreuses veinules de quartz dans toutes les directions	11930	413	414	1'		tr	
			11931	437	440	3'		tr	
			11932	440	443	3'		tr	
		De 464 à 466 quelques veinules de quartz-sidérite à $\pm 45^\circ$ /axe avec une tache (environ 1 cm) de Cp	11933	464	466	2'		tr	
		De 471 à 473 quelques fractures à $\pm 50^\circ$ /axe	11934	471	473	2'		tr	
		De 510 à 519 nombreuses veinules de quartz dans toutes les directions; trace de spéularite	11935	510	513	3'		tr	
			11936	513	516	3'		tr	
			11937	516	519	3'		tr	
		De 550 à 556 nombreuses veinules de quartz de 60 à 80°/axe	11938	550	553	3'		tr	
			11939	553	556	3'		tr	
		De 623 à 626 quelques fractures à $\pm 50^\circ$ /axe	11940	623	626	3'		tr	
632	674.5	Dacite; schistosité à $\pm 50^\circ$ /axe; rares veinules de quartz dans toutes les directions; trace de Py disséminée	11941	632	635	3'		tr	
			11942	635	638	3'		tr	
			11943	638	641	3'		tr	
			11944	641	644	3'		tr	
		De 672 à 674 quelques veines de quartz (de 1 à 3 cm) de sub-parallèle à $\pm 30^\circ$ /axe	11945	644	647	3'		tr	
			11946	647	650	3'		tr	
			11947	650	653	3'		tr	

CAROTTE DE	A	DESCRIPTION	NO	ECHANTILLON		LONG	ANALYSE		
				DE	A		Au/t	Ag/t	Cu
674.5	816	Basalte/Andésite; schistosité à $\pm 60^\circ$ /axe; quelques veinules de quartz avec spéularite dans toutes les directions; légère altération en épidote	11948	653	656	3'			
		De 691 à 694 nombreuses veinules de quartz surtout à $\pm 60^\circ$ /axe	11949	656	659	3'			
		De 700 à 726; $\pm 3\%$ de magné- tite disséminée	11950	659	662	3'			
		De 702 à 703 quelques frac- tures à $\pm 70^\circ$ /axe	11951	662	665	3'			
		De 714.5 à 721.5 quelques fractures à $\pm 60^\circ$ /axe	11952	665	668	3'			
		De 724 à 733 nombreuses fractures à $\pm 60^\circ$ /axe avec spéularite et nombreuses veinules de quartz dans toutes les directions	11953	668	671	3'			
		De 744 à 746 quelques frac- tures à $\pm 50^\circ$ /axe	11954	671	673	2'			
		De 749 à 763 nombreuses fractures à $\pm 60^\circ$ /axe; abon- dance de veinules de quartz avec spéularite dans toutes les directions	11955	673	674.5	1.5'			
		De 753 à 755 gouge à $\pm 30^\circ$ /axe	11956	691	694	3'			
		De 768 à 771 fracturation intense avec spéularite à $\pm 60^\circ$ /axe	11957	702	703	1'			
		De 776 à 782 nombreuses frac- tures avec spéularite à $\pm 60^\circ$ /axe	11958	714.5	717.5	3'			
		A 780.5 veine de quartz (5 cm) à $\pm 20^\circ$ /axe	11959	717.5	719.5	2'			
		De 799 à 802 nombreuses vei- nules de quartz et fractures à $\pm 60^\circ$ /axe	11960	719.5	721.5	2'			
		De 805 à 807 fracturation intense à $\pm 80^\circ$ /axe	11961	724	727	3'			
			11962	727	730	3'			
			11963	730	733	3'			
			11964	744	746	2'			
			11965	749	752	3'			
			11966	752	755	3'			
			11967	755	758	3'			
			11968	758	761	3'			
			11969	761	763	2'			
			11970	768	771	3'			
			11971	776	779	3'			
			11972	779	782	3'			
			11973	799	802	3'			
			11974	805	807	2'			

FIN DU TROU 816'

CAROTTE DE	A	DESCRIPTION	NO	ECHANTILLON		ANALYSE		
				DE	A	LONG	Au/t	Ag/t
152	188	Tuf intermédiaire à mafique;	11999	152	155	3'		tr
		laminations à ±50°/axe; nom-	12000	155	158	3'		tr
		breuses veinules de quartz;	14001	158	161	3'		tr
		surtout dans les laminations;	14002	161	164	3'		tr
		de 3 à 10% de spéularite	14003	164	167	3'		tr
		disséminée; certaines	14004	167	170	3'		tr
		sections sont légèrement	14005	170	173	3'		tr
		altérées en épidote	14006	173	176	3'		tr
138	201	De 166.5 à 168; ±10% de	14007	176	179	3'		tr
		spéularite	14008	179	182	3'		tr
138	201	Basalte/Andésite; schistosité	14009	182	185	3'		tr
		à ±50°/axe; rares veinules de	14010	185	188	3'		tr
201	226	quartz dans toutes les direc-						
		tions; légèrement altéré en						
		épidote; ±3% de spéularite						
		disséminée						
		Tuf intermédiaire à mafique;						
		schistosité généralement à						
		±50°/axe; quelques veinules	14011	201	204	3'		tr
		de quartz dans toutes les	14012	204	207	3'		tr
directions	14013	207	210	3'		tr		
226	277	De 201 à 211; de 5 à 10% de	14014	210	213	3'		tr
		spéularite disséminée	14015	213	216	3'		tr
226	277	De 213 à 214 nombreuses frac-	14016	216	219	3'		tr
		tures à ±50°/axe	14017	219	222	3'		tr
		De 217 à 221 nombreuses frac-	14018	222	224	2'		tr
		tures à ±50°/axe	14019	224	226	2'		tr
		Andésite; schistosité à						
		±50°/axe; quelques veinules	14020	228	230	2'		tr
		de quartz dans toutes les	14021	230	232	2'		tr
		directions	14022	238	241	3'		tr
		De 228 à 232 fracturation	14023	241	244	3'		tr
		intense à ±50°/axe	14024	244	247	3'		tr
		De 238 à 243 brèche à	14025	247	250	3'		tr
±50°/axe avec nombreuses vei-	14026	250	253	3'		tr		
nules de quartz dans toutes	14027	253	256	3'		tr		
les directions	14028	256	259	3'		tr		
226	277	De 243 à 271 très nombreuses	14029	259	262	3'		tr
		fractures à ±50°/axe; abon-	14030	262	265	3'		tr
		dance de veinules de quartz	14031	265	268	3'		tr
		dans toutes les directions	14032	268	271	3'		tr
		De 271 à 272 veine de quartz	14033	271	274	3'		tr
		à ±10°/axe						

CAROTTE DE A	DESCRIPTION	NO	ECHANTILLON		LONG	ANALYSE		
			DE	A		Au/t	Ag/t	Cu
	De 272 à 277 quelques veinules de quartz et fractures à ±50°/axe	14034	274	277	3'		tr	
277	286	Dacite; schistosité à ±50°/axe; quelques veinules de quartz dans toutes les directions; quelques fractures à ±50°/axe	14035 14036 14037	277 280 283	280 283 286	3' 3' 3'	tr tr tr	
286	296	Andésite; schistosité à ±50°/axe; quelques veinules de quartz dans toutes les directions; légèrement altérée en épidote	14038 14039 14040 14041 14042	296 298 301 304 307	298 301 304 307 310	2' 3' 3' 3' 3'	tr tr tr tr tr	
296	366	Dacite; schistosité à ±50°/axe; rares veinules de quartz dans toutes les directions De 296.8 à 298 veine de quartz à ±70°/axe De 298 à 327 nombreuses fractures de sub-parallèle à ±60°/axe; trace de Py dans les veinules De 318 à 323 quelques veines de quartz (moins de 10 cm) à ±50°/axe De 358 à 359 fracturation intense à ±45°/axe	14043 14044 14045 14046 14047 14048 14049 14050 14051 14052 14053 14054 14055 14056 14057	310 313 316 319 322 325 328 331 334 337 340 343 346 349 352 355	313 316 319 322 325 328 331 334 337 340 343 346 349 352 355	3' 3' 3' 3' 3' 3' 3' 3' 3' 3' 3' 3' 3' 3' 3' 3'	tr tr tr tr tr tr tr tr tr tr tr tr tr tr tr tr	
366	448	Andésite; schistosité à ±50°/axe; rares veinules de quartz dans toutes les directions; légère altération en épidote De 375 à 376 quelques veines de quartz (moins de 3 cm) à ±50°/axe et sub-parallèle à l'axe De 390 à 441; ±3% de spécularite disséminée De 423 à 426 quelques fractures à ±30°/axe	14058 14059 14060 14061 14062 14063	355 358 361 364 375 423	358 361 364 366 376 426	3' 3' 3' 2' 1' 3'	tr tr tr tr tr tr	

CAROTTE DE	A	DESCRIPTION	NO	ECHANTILLON		LONG	ANALYSE		
				DE	A		Au/t	Ag/t	Cu
448	490	Dacite; schistosité à ±50°/axe; texture poecilitique; trace de Py disséminée	14064	448	450	2'			tr
		De 450 à 453 brèche à ±30°/axe avec altération en	14065	450	453	3'			tr
		épidote et quelques veines de quartz (moins de 5 cm)	14066	453	456	3'			tr
		De 472 à 474.5 nombreuses veinules de quartz dans toutes les directions	14067	456	459	3'			tr
		De 479 à 480 quelques fractures à ±50°/axe	14068	459	462	3'			tr
		De 488 à 490 quelques veines de quartz (moins de 3 cm) à ±50°/axe avec altération en	14069	462	465	3'			tr
		goethite	14070	465	468	3'			tr
		De 472 à 474.5 nombreuses veinules de quartz dans toutes les directions	14071	468	471	3'			tr
		De 479 à 480 quelques fractures à ±50°/axe	14072	471	474	3'			tr
		De 488 à 490 quelques veines de quartz (moins de 3 cm) à ±50°/axe avec altération en	14073	474	477	3'			tr
		goethite	14074	477	480	3'			tr
		De 479 à 480 quelques fractures à ±50°/axe	14075	480	483	3'			tr
		De 488 à 490 quelques veines de quartz (moins de 3 cm) à ±50°/axe avec altération en	14076	483	486	3'			tr
		goethite	14077	486	488	2'			tr
		De 479 à 480 quelques fractures à ±50°/axe	14078	488	490	2'			tr
490	548.5	Andésite; schistosité à ±50°/axe; légère altération en épidote; quelques grains de specularite disséminés							
		A 490 altération en goethite au contact supérieur et fracturation intense sur quelques cm	14079	490	492	2'			tr
		De 513.5 à 514.5; de 542.5 à 544.5; dacites à ±50°/axe	14080	513.5	514.5	1'			tr
		De 544.5 à 548.5 nombreuses fractures et veinules de quartz à ±50°/axe	14081	542.5	544.5	2'			tr
		De 544.5 à 548.5 nombreuses fractures et veinules de quartz à ±50°/axe	14082	544.5	546.5	2'			tr
		De 544.5 à 548.5 nombreuses fractures et veinules de quartz à ±50°/axe	14083	546.5	548.5	2'			tr
548.5	589.5	Dacite; schistosité à ±50°/axe; texture poecilitique; rares veinules de quartz dans toutes les directions	14084	548.5	551.5	3'			tr
		De 555 à 562 fracturation intense de 45 à 60°/axe	14085	551.5	554.5	3'			tr
		A 575 fracturation intense à ±20°/axe sur quelques cm	14086	554.5	557.5	3'			tr
		De 555 à 562 fracturation intense de 45 à 60°/axe	14087	557.5	560.5	3'			tr
		A 575 fracturation intense à ±20°/axe sur quelques cm	14088	560.5	563.5	3'			tr
		De 555 à 562 fracturation intense de 45 à 60°/axe	14089	563.5	566.5	3'			tr
		A 575 fracturation intense à ±20°/axe sur quelques cm	14090	566.5	569.5	3'			tr
		De 555 à 562 fracturation intense de 45 à 60°/axe	14091	569.5	572.5	3'			tr
589.5	666.5	Andésite/Basalte; schistosité à ±50°/axe; rares veinules de quartz dans toutes les directions; légère altération en épidote	14092	572.5	575.5	3'			tr
		De 555 à 562 fracturation intense de 45 à 60°/axe	14093	575.5	578.5	3'			tr
		A 575 fracturation intense à ±20°/axe sur quelques cm	14094	578.5	581.5	3'			tr
		De 555 à 562 fracturation intense de 45 à 60°/axe	14095	581.5	584.5	3'			tr
		A 575 fracturation intense à ±20°/axe sur quelques cm	14096	584.5	587.5	3'			tr
		De 555 à 562 fracturation intense de 45 à 60°/axe	14097	587.5	589.5	2'			tr

CAROTTE DE	A	DESCRIPTION	NO	ECHANTILLON		LONG	ANALYSE		
				DE	A		Au/t	Ag/t	Cu
		A 610.5 veine de quartz; 5 cm; à ±40°/axe	14098	610	611	1'		tr	
		De 630 à 633 nombreuses veinules de quartz surtout à ±50°/axe	14099	630	633	3'		tr	
		De 640 à 643 quelques minces veines de quartz (moins de 10 cm) à ±10 et à ±50°/axe	14100	640	643	3'		tr	
			14101	666.5	669.5	3'		tr	
56.5	721	Tuf intermédiaire; laminations à ±60°/axe; rares veinules de quartz dans toutes les directions	14102	669.5	672.5	3'		tr	
		De 690 à 692 nombreuses veines de quartz (moins de 5 cm) à ±60°/axe	14103	672.5	675.5	3'		tr	
		De 702 à 706 nombreuses fractures à ±60°/axe	14104	675.5	678.5	3'		tr	
		De 708.5 à 709 veine de quartz à ±60°/axe	14105	678.5	681.5	3'		tr	
		De 709 à 711 brèche à ±70°/axe avec fragments de tuf et de quartz	14106	681.5	684.5	3'		tr	
		De 711 à 717 brèche à ±70°/axe avec veine de quartz de 10 à 20 cm dans la schistosité	14107	684.5	687.5	3'		tr	
			14108	687.5	690.5	3'		tr	
			14109	690.5	693.5	3'		tr	
			14110	693.5	696.5	3'		tr	
			14111	696.5	699.5	3'		tr	
			14112	699.5	702.5	3'		tr	
			14113	702.5	705.5	3'		tr	
			14114	705.5	708.5	3'		tr	
			14115	708.5	711.5	3'		tr	
			14116	711.5	714.5	3'		tr	
			14117	714.5	717	2.5'		tr	
			14118	717	719	2'		tr	
			14119	719	721	2'		tr	
21	898	Andésite; schistosité à ±60°/axe; rares veinules de quartz dans toutes les directions; légère altération en épidote							
		N.B. Erreur de profondeur à 776'; le foreur a indiqué 786'							
		De 782 à 785 nombreuses veinules de quartz à ±60°/axe	14120	782	785	3'		tr	
		De 793 à 795 quelques fractures à ±60°/axe	14121	793	795	2'		tr	
		De 830.5 à 831.5 zone de cisaillement à ±80°/axe; trace de Py et Cp sur quelques cm	14122	830.5	831.5	1'		tr	

CAROTTE DE	A	DESCRIPTION	NO	ECHANTILLON		LONG	ANALYSE		
				DE	A		Au/t	Ag/t	Cu
		De 867 à 869 quelques frac- tures à $\pm 60^\circ$ /axe	14123	867	869	2'		tr	
		De 877 à 879 quelques frac- tures à $\pm 90^\circ$ /axe	14124	877	879	2'		tr	
98	949	Dacite; schistosité à $\pm 60^\circ$ /axe; très rares veinules de quartz dans toutes les directions	14125 14126 14127 14128	898 901 904 907	901 904 907 910	3' 3' 3' 3'		tr tr tr tr	
		De 901 à 903 quelques fractures à $\pm 60^\circ$ /axe	14129 14130	910 913	913 916	3' 3'		tr tr	
49	986	Tuf intermédiaire à mafique; laminations à $\pm 70^\circ$ /axe; très rares veinules de quartz surtout à $\pm 70^\circ$ /axe; $\pm 1\%$ Py disséminée	14131 14132 14133 14134 14135	916 919 922 925 928	919 922 925 928 931	3' 3' 3' 3' 3'		tr tr tr tr tr	
		De 949 à 956 nombreuses fractures à $\pm 70^\circ$ /axe	14136 14137	931 934	934 937	3' 3'		tr tr	
		De 959 à 960 quelques frac- tures à $\pm 60^\circ$ /axe	14138 14139	937 940	940 943	3' 3'		tr tr	
		De 964 à 966 quelques frac- tures à $\pm 70^\circ$ /axe	14140 14141	943 946	946 949	3' 3'		tr tr	
		De 977 à 977.8 veine de quartz avec $\pm 5\%$ de sidérite à $\pm 50^\circ$ /axe	14142 14143 14144	949 952 955	952 955 958	3' 3' 3'		tr tr tr	
986	992	Andésite; schistosité à $\pm 70^\circ$ /axe; rares veinules de quartz-sidérite surtout à $\pm 70^\circ$ /axe	14145 14146 14147 14148	958 961 964 967	961 964 967 970	3' 3' 3' 3'		tr tr tr tr	
92	1014.5	Tuf intermédiaire à mafique; laminations à $\pm 70^\circ$ /axe; rares veinules de quartz et sidérite à $\pm 70^\circ$ /axe	14149 14150 14151 14152	970 973 976 979	973 976 979 982	3' 3' 3' 3'		tr tr tr tr	
		De 1010 à 1012.5 bande d'an- désite à $\pm 70^\circ$ /axe	14153 14154	982 984	984 986	2' 2'		tr tr	
1.14.5	1021.5	Andésite; schistosité à $\pm 70^\circ$ /axe; rares veinules de quartz-sidérite surtout dans la schistosité; la sidérite est légèrement altérée en limonite	14155 14156 14157 14158 14159 14160 14161	992 995 998 1001 1004 1007 1010	995 998 1001 1004 1007 1010 1014.5	3' 3' 3' 3' 3' 3' 2'		tr tr tr tr tr tr tr	

CAROTTE DE	A	DESCRIPTION	NO	ECHANTILLON		LONG	ANALYSE		
				DE	A		Au/t	Ag/t	Cu
1021.5	1029	Tuf intermédiaire à mafique;	14162	1021.5	1024	2.5'	tr		
		laminations à ±70°/axe; très	14163	1024	1027	3'	tr		
		rare veinules de quartz et							
		sidérite à ±70°/axe							
		De 1028 à 1029 veine de	14164	1027	1029	2'	tr		
		quartz à ±45°/axe (contient							
		un peu de sidérite)							
1029	1049	Andésite; schistosité à							
		±70°/axe; très rare veinules							
		de quartz dans toutes les							
		directions							
		De 1042 à 1044 quelques frac-	14165	1042	1044	2'	tr		
		tures à ±70°/axe							
1049	1056	Tuf intermédiaire à mafique;	14166	1049	1052	3'	tr		
		laminations à ±70°/axe; très	14167	1052	1054	2'	tr		
		rare veinules de calcite							
		A 1055 gouge à ±70°/axe sur	14168	1054	1056	2'	tr		
		quelques cm							

FIN DU TROU 1056'

ANNEXE B
Certificats d'analyses

RAPPORT D'ANALYSES

Date 18 mars 1987

DESCRIPTION		an	ony	L
S-10936		T		
39		T		
40		T		
41		T		
42		T		
43		T		
S-10957		T		
58		T		
59		T		
60		T		
61		T		
62		T		
63		T		
64		T		
65		T		
66		T		
67		T		
68		T		
69		T		
70		T		
71		T		
72		T		
73		T		
74		T		
75		T		
76		T		
35		T		
36		T		
37		T		
		77		
		78		
		79		

ANALYSTE: J. C. Boucquet

RAPPORT D'ANALYSES

Date 18 mars 1987

DESCRIPTION	Am moy/ %	DESCRIPTION			
S-10980	h				
S-10992	h				
93	h				
94	h				
95	h				
96	h				
97	h				
98	h				
99	h				
11000	h				
11001	h				
02	h				
03	h				
04	h				
05	h				
06	h				
07	h				
08	h				
09	h				
10	h				
11	h				
12	h				
13	h				
14	h				
15	h				

ANALYSTE:

[Signature]

RAPPORT D'ANALYSES

Date 19 Mars 1987

DESCRIPTION	Au once/ton	DESCRIPTION	Au once/ton
S-11063	TR	S-11087	TR
64	TR	88	TR
65	TR	89	TR
66	TR	90	TR
67	TR	91	TR
68	TR	92	TR
69	TR	93	TR
70	TR	94	TR
71	TR	95	TR
72	TR	96	TR
73	TR	97	TR
74	TR	98	TR
75	TR	99	TR
76	TR	100	TR
77	TR	01	TR
78	TR	02	TR
79	TR	03	TR
80	TR	04	TR
81	TR	05	TR
82	TR	06	TR
83	TR	07	TR
84	TR	08	TR
85	TR	09	TR
86	TR	10	TR

ANALYSTE: Josee Boisseau

RAPPORT D'ANALYSES

Date 19 Mars 1981

DESCRIPTION		AD ONCE TR		DESCRIPTION			
S-11111		DL					
12		DL					
13		DL					
14		DL					
15		DL					
16		DL					
17		DL					
18		DL					
19		DL					
20		DL					
21		DL					
22		DL					
23		DL					
24		DL					
25		DL					
26		DL					
27		DL					
28		DL					
29		DL					
30		DL					
31		DL					
32		DL					
33		DL					
34		DL					

ANALYSTE: Josée Boisjournault

RAPPORT D'ANALYSES

Date 20 mars 87

DESCRIPTION	An once/L	DESCRIPTION	An once/L
S-10944	h	S-11135	h
45	h	36	h
46	h	37	h
47	h	38	h
48	h	39	h
49	h	40	h
50	h	41	h
51	h	42	h
52	h	43	h
53	h	44	h
54	h	45	h
55	h	46	h
56	h	47	h
		48	h
S-10981	h	49	h
82	h	50	h
83	h	51	h
84	h	52	h
85	h	53	h
86	h	54	h
87	h	55	h
88	h	56	h
89	h	57	h
90	h	58	h
91	h	59	h
		60	h
		61	h
		62	h
		63	h
		64	h

ANALYSTE:

J. L. Laroche

RAPPORT D'ANALYSES

Date 20 mars 87

DESCRIPTION	An analyse	DESCRIPTION	An analyse
S-11165	T	S-11195	T
66	T	96	T
67	T	97	T
68	T	98	T
69	T	99	T
70	T	200	T
71	T	01	T
72	T	02	T
73	T	03	T
74	T	04	T
75	T	05	T
76	T	06	T
77	T		
78	T		
79	T		
80	T		
81	T		
82	T		
83	T		
84	T		
85	T		
86	T		
87	T		
88	T		
89	T		
90	T		
91	T		
92	T		
93	T		
94	T		

ANALYSTE: J. Charvát

RAPPORT D'ANALYSES

Date 24 mars 87

DESCRIPTION	Ann onaf/e	DESCRIPTION	Ann onaf/e
S- 11207	h	S- 11237	h
08	h	38	h
09	h	39	h
10	h	40	h
11	h	41	h
12	h	42	h
13	h	43	h
14	h	44	h
15	h	45	h
16	h	46	h
17	h	47	h
18	h	48	h
19	h	49	h
20	h	50	h
21	h	51	h
22	h	52	h
23	h	53	h
24	h	54	h
25	h	55	h
26	h	56	h
27	h	57	h
28	h	58	h
29	h	59	h
30	h	60	h
31	h	61	h
32	h	62	h
33	h	63	h
34	h	64	h
35	h	65	h
36	h	66	h

ANALYSTE: J. Chouman

RAPPORT D'ANALYSES

Date 24 mars 87

DESCRIPTION	An omaf/c	Ag PPm.	DESCRIPTION	An omaf/c
S-11267	h		S-11297	h
68	h		98	h
69	h		99	h
70	0.005		300	h
71	0.005		01	h
72	0.020		02	h
73	h		03	h
74	h		04	h
75	h		05	h
76	0.005	0.2	06	h
77	0.013	0.5	07	h
78	0.005	0.3	08	h
79	h		09	h
80	h		10	h
81	h		11	h
82	h		12	h
83	h		13	h
84	h		14	h
85	h		15	h
86	h		16	h
87	h			
88	h			
89	h			
90	h			
91	h			
92	h			
93	h			
94	h			
95	h			
96	h			

ANALYSTE: J. C. [Signature]

RAPPORT D'ANALYSES

Date 26 mars 1987

DESCRIPTION	Au once/ ton	DESCRIPTION	Au once/ ton
S- 11317	TR	11347	TR
18	TR	48	TR
19	TR	49	TR
20	TR	50	TR
21	TR	51	TR
22	TR	52	TR
23	TR	53	TR
24	TR	54	TR
25	TR	55	TR
26	TR	56	TR
27	TR	57	TR
28	TR	58	TR
29	TR	59	TR
30	TR	60	TR
31	TR	61	TR
32	TR	62	TR
33	TR	63	TR
34	TR	64	TR
35	TR	65	TR
36	TR	66	TR
37	TR	67	TR
38	TR	68	TR
39	TR	69	TR
40	TR	70	TR
41	TR	71	TR
42	TR	72	TR
43	TR	73	TR
44	TR	74	TR
45	TR	75	TR
46	TR	76	TR

ANALYSTE:

Josée Poissonneault

RAPPORT D'ANALYSES

Date 26 mars 1987

DESCRIPTION	Au once/tan	DESCRIPTION	Au once/tan
S - 11377	TR	11407	TR
78	TR	08	TR
79	TR	09	TR
80	TR	10	TR
81	TR	11	TR
82	TR	12	TR
83	TR	13	TR
84	TR	14	TR
85	TR	15	TR
86	TR	16	TR
87	TR	17	TR
88	TR	18	TR
89	TR	19	TR
90	TR	20	TR
91	TR	21	TR
92	TR	22	TR
93	TR	23	TR
94	TR	24	TR
95	TR	25	TR
96	TR	26	TR
97	TR	27	TR
98	TR	28	TR
99	TR	29	TR
11400	TR	30	TR
01	TR	31	TR
02	TR	32	TR
03	TR	33	TR
04	TR	34	TR
05	TR	35	TR
06	TR	36	TR

ANALYSTE: Josée Poirsonneault

RAPPORT D'ANALYSES

Date 26 mars 1987

DESCRIPTION		Au conc _{total}		DESCRIPTION			
S- 11437		TL					
38		TL					
39		TL					
40		TL					
41		TL					
42		TL					
43		TL					
44		TL					
45		TL					
46		TL					
47		TL					
48		TL					
49		TL					
50		TL					
51		TL					
52		TL					
53		TL					
54		TL					
55		TL					
56		TL					
57		TL					
58		TL					
59		TL					
60		TL					

ANALYSTE: Josée Boissonneault

RAPPORT D'ANALYSES

Date 2 avril 87

DESCRIPTION	Au mg/t	DESCRIPTION	Au mg/t
S- 11461	h	S- 11491	h
62	h	91	h
63	h	92	h
64	h	93	h
65	h	94	h
66	h	95	h
67	h	96	h
68	h	97	h
69	h	98	h
70	h	99	h
71	h	500	h
72	h	01	h
73	h	02	h
74	h	03	h
75	h	04	h
76	h	05	h
77	h	06	h
78	h	07	h
79	h	08	h
80	h	09	h
81	h	10	h
82	h	11	h
83	h	12	h
84	h	13	h
85	h	14	h
86	h	15	h
87	h	16	h
88	h	17	h
89	h	18	h
90	h	19	h

ANALYSTE: J. A. Fournier

RAPPORT D'ANALYSES

Date 2 avril 87

DESCRIPTION	Au mg/t	DESCRIPTION	Au mg/t
S- 11520	h	S- 11550	h
21	h	51	h
22	h	52	h
23	h	53	h
24	h	54	h
25	h	55	h
26	h	56	h
27	h	57	h
28	h	58	h
29	h	59	h
30	h	60	h
31	h	61	h
32	h	62	h
33	h	63	h
34	h	64	h
35	h	65	h
36	h	66	h
37	h	67	h
38	h	68	h
39	h	69	h
40	h	70	h
41	h	71	h
42	h	72	h
43	h	73	h
44	h	74	h
45	h	75	h
46	h	76	h
47	h	77	h
48	h	78	h
49	h	79	h

ANALYSTE: J. L. Boncourt

RAPPORT D'ANALYSES

Date 2 avril 87

DESCRIPTION	an	DESCRIPTION	an
	on		on
	ne		ne
	ff		ff
S- 11580	2	S- 11610	X
81	2	11	2
82	2	12	2
83	2	13	2
84	2	14	2
85	2	15	2
86	2	16	2
87	2	17	2
88	2	18	2
89	2	19	2
90	2	20	2
91	2	21	2
92	2	22	2
93	2	23	2
94	2	24	2
95	2	25	2
96	2	26	2
97	2	27	2
98	2	28	2
99	2	29	2
G.00	2	30	2
01	2	31	2
02	2	32	2
03	2	33	2
04	2	34	2
05	2	35	2
06	2	36	2
07	2	37	2
08	2	38	2
09	2	39	2

ANALYSTE:

J. P. ...

RAPPORT D'ANALYSES

Date Janv 87

DESCRIPTION	Au mg/t	DESCRIPTION	Au mg/t
S- 11647	h	S- 11677	h
48	h	78	h
49	h	79	h
50	h	80	h
51	h	81	h
52	h	82	h
53	h	83	h
54	h	84	h
55	h	85	h
56	h	86	h
57	h	87	h
58	h	88	h
59	h	89	h
60	h	90	h
61	h	91	h
62	h	92	h
63	h	93	h
64	h	94	h
65	h	95	h
66	h	96	h
67	h	97	h
68	h	98	h
69	h	99	h
70	h	700	h
71	h	01	h
72	h	02	h
73	h	03	h
74	h	04	h
75	h	05	h
76	h	06	h

ANALYSTE: J. C. Bonnet

RAPPORT D'ANALYSES

Date Janv 87

DESCRIPTION	Am G/g	DESCRIPTION	Am G/g
S- 11707	Δ	S- 11737	Δ
08	Δ	38	Δ
09	Δ	39	Δ
10	Δ	40	Δ
11	Δ	41	Δ
12	Δ	42	Δ
13	Δ	43	Δ
14	Δ	44	Δ
15	Δ	45	Δ
16	Δ	46	Δ
17	Δ	47	Δ
18	Δ	48	Δ
19	Δ	49	Δ
20	Δ	50	Δ
21	Δ	51	Δ
22	Δ	52	Δ
23	Δ	53	Δ
24	Δ	54	Δ
25	Δ	55	Δ
26	Δ	56	Δ
27	Δ	57	Δ
28	Δ	58	Δ
29	Δ	59	Δ
30	Δ	60	Δ
31	Δ	61	Δ
32	Δ	62	Δ
33	Δ	63	Δ
34	Δ	64	Δ
35	Δ	65	Δ
36	Δ	66	Δ

ANALYSTE: J. L. ...

RAPPORT D'ANALYSES

Date 6 avr 87

DESCRIPTION	Analyse	DESCRIPTION	Analyse
S-11767	Δ	S-11797	Δ
68	Δ	98	Δ
69	Δ	99	Δ
70	Δ	800	Δ
71	Δ	01	Δ
72	Δ	02	Δ
73	Δ	03	Δ
74	Δ	04	Δ
75	Δ	05	Δ
76	Δ	06	Δ
77	Δ	07	Δ
78	Δ	08	Δ
79	Δ	09	Δ
80	Δ	10	Δ
81	Δ	11	Δ
82	Δ	12	Δ
83	Δ	13	Δ
84	Δ	14	Δ
85	Δ	15	Δ
86	Δ	16	Δ
87	Δ	17	Δ
88	Δ	18	Δ
89	Δ	19	Δ
90	Δ	20	Δ
91	Δ	21	Δ
92	Δ	22	Δ
93	Δ	23	Δ
94	Δ	24	Δ
95	Δ	25	Δ
96	Δ	26	Δ

ANALYSTE: J. A. L...

RAPPORT D'ANALYSES

Date Janv 87

DESCRIPTION	Analyse	DESCRIPTION	Analyse
S-11827	T	S-11857	T
28	T	58	T
29	T	59	T
30	T	60	T
31	T	61	T
32	T	62	T
33	T	63	T
34	T	64	T
35	T	65	T
36	T	66	T
37	T	67	T
38	T	68	T
39	T	69	T
40	T	70	T
41	T	71	T
42	T	72	T
43	T	73	T
44	T	74	T
45	T	75	T
46	T	76	T
47	T	77	T
48	T	78	T
49	T	79	T
50	T	80	T
51	T	81	T
52	T	82	T
53	T	83	T
54	T	84	T
55	T	85	T
56	T	86	T

ANALYSTE:

J. C. Gomez

RAPPORT D'ANALYSES

Date 8 avril 87

DESCRIPTION	an over/c	DESCRIPTION	an over/c
3-11887	h	5-11917	h
88	h	18	h
89	h	19	h
90	h	20	h
91	h	21	h
92	h	22	h
93	h	23	h
94	h	24	h
95	h	25	h
96	h	26	h
97	h	27	h
98	h	28	h
99	h	29	h
900	h	30	h
01	h	31	h
02	h	32	h
03	h	33	h
04	h	34	h
05	h	35	h
06	h	36	h
07	h	37	h
08	h	38	h
09	h	39	h
10	h	40	h
11	h	41	h
12	h	42	h
13	h	43	h
14	h	44	h
15	h	45	h
16	h	46	h

ANALYSTE:

J. Chouart

RAPPORT D'ANALYSES

Date 8 avril 87

DESCRIPTION	an analyse	DESCRIPTION	an analyse
S-11947	L	S-11977	L
48	L	78	L
49	L	79	L
50	L	80	L
51	L	81	L
52	L	82	L
53	L	83	L
54	L	84	L
55	L	85	L
56	L	86	L
57	L	87	L
58	L	88	L
59	L	89	L
60	L	90	L
61	L	91	L
62	L	92	L
63	L	93	L
64	L	94	L
65	L	95	L
66	L	96	L
67	L	97	L
68	L	98	L
69	L	99	L
70	L	12000	L
71	L		
72	L	14001	L
73	L	02	L
74	L	03	L
75	L	04	L
76	L	05	L

ANALYSTE:

J. R. [Signature]

RAPPORT D'ANALYSES

Date Janvier 87

DESCRIPTION	An over/c	DESCRIPTION	An over/c
S-14006	h	S-14036	L
07	h	37	Z
08	h	38	L
09	h	39	Z
10	h	40	L
11	h	41	Z
12	h	42	Z
13	h	43	L
14	h	44	Z
15	h	45	Z
16	h	46	Z
17	h	47	L
18	h	48	L
19	h	49	L
20	h	50	L
21	L	51	Z
22	L	52	L
23	L	53	Z
24	h	54	L
25	h	55	L
26	h	56	h
27	h	57	h
28	h	58	L
29	h	59	Z
30	h	60	L
31	h	61	L
32	h	62	L
33	Z	63	L
34	Z	64	Z
35	h	65	C

ANALYSTE: J. Edouard

RAPPORT D'ANALYSES

Date 8 août 87

DESCRIPTION	an over/te	DESCRIPTION	an over/te
S-14066	A	S-14096	A
67	A	97	A
68	A	98	A
69	A	99	A
70	A	100	A
71	A	01	A
72	A	02	A
73	A	03	A
74	A	04	A
75	A	05	A
76	A	06	A
77	A	07	A
78	A	08	A
79	A	09	A
80	A	10	A
81	A	11	A
82	A	12	A
83	A	13	A
84	A	14	A
85	A	15	A
86	A	16	A
87	A	17	A
88	A	18	A
89	A	19	A
90	A	20	A
91	A	21	A
92	A	22	A
93	A	23	A
94	A	24	A
95	A	25	A

ANALYSTE: _____

RAPPORT D'ANALYSES

Date 8 avril 87

DESCRIPTION	Am analyse	DESCRIPTION	Am analyse
S-14 126	Δ	S-14 156	Δ
14 127	Δ	57	Δ
25	Δ	58	Δ
29	Δ	59	Δ
30	Δ	60	Δ
31	Δ	61	Δ
32	Δ	62	Δ
33	X	63	Δ
34	Δ	64	Δ
35	Δ	65	Δ
36	Δ	66	Δ
37	Δ	67	Δ
38	Δ	68	Δ
39	Δ	69	Δ
40	Δ	70	Δ
41	Δ	71	Δ
42	Δ	72	Δ
43	Δ	73	Δ
44	Δ	74	Δ
45	Δ	75	Δ
46	Δ	76	Δ
47	Δ	77	Δ
48	Δ	78	Δ
49	Δ	79	Δ
50	Δ	80	Δ
51	Δ	81	Δ
52	Δ	82	Δ
53	Δ	83	Δ
54	Δ	84	Δ
55	Δ	85	Δ

ANALYSTE: J. C. L...

RAPPORT D'ANALYSES

Date 8 août 87

DESCRIPTION	Analyse	DESCRIPTION	Analyse
S- 14 180	✓	S- 14 216	✓
87	✓	17	✓
88	✓	18	✓
89	✓	19	✓
90	✓	20	✓
91	✓	21	✓
92	✓	22	✓
93	✓	23	✓
94	✓	24	✓
95	✓	25	✓
96	✓	26	✓
97	✓	27	✓
98	✓	28	✓
99	✓	29	✓
200	✓	30	✓
01	✓	31	✓
02	✓	32	✓
03	✓	33	✓
04	✓	34	✓
05	✓	35	✓
06	✓	36	✓
07	✓	37	✓
08	✓	38	✓
09	✓	39	✓
10	✓		
11	✓		
12	✓		
13	✓		
14	✓		
15	✓		

ANALYSTE:

J. G. [Signature]

LABORATOIRE MINÉRALURGIQUE 110750 CANADA INC

146, 3e AVENUE VAL D'OR, QUÉ. J9P 1R5
TÉL.: 825-5037

CERTIFICAT D'ANALYSES
CERTIFICATE OF ANALYSIS

Ressources Vassan Inc.,

400, 3e avenue, Val d'Or, Qué.

NO	1655
----	------

ECHANTILLONS
SAMPLES

VAL D'OR, QUÉ. 19

REÇU DE
RECEIVED FROM

ANALYSES
ASSAYS

	<u>OZ/AU/T</u>		<u>OZ/AU/T</u>
22001	TR	22042	TR
2	TR	3	TR
3	TR	4	TR
4	TR	5	Tr
5	TR	22046	TR
6	TR		
7	TR		
8	TR		
9	TR		
10	TR		
1	TR		
2	TR		
3	TR		
4	TR		
5	TR		
6	TR		
7	TR		
8	TR		
9	TR		
20	TR		
1	TR		
2	TR		
3	TR		
4	TR		
5	TR		
6	TR		
7	TR		
8	TR		
9	TR		
30	TR		
1	TR		
2	TR		
3	TR		
4	TR		
5	TR		
6	TR		
7	TR		
8	TR		
9	TR		
40	TR		
22041	TR		

Charles Avery

Charles Avery

ANALYSTE / ASSAYER

**LABORATOIRE MINÉRALURGIQUE
110750 CANADA INC**

146, 3e AVENUE VAL D'OR, QUÉ. J9P 1R5
TÉL.: 825-5037

CERTIFICAT D'ANALYSES
CERTIFICATE OF ANALYSIS

Ressources Vassan Inc.,

400, 3e avenue, val d,Or, Qué.

NO 1662

ÉCHANTILLONS
SAMPLES
REÇU DE
RECEIVED FROM

VAL D'OR, QUÉ. 19.....
ANALYSES
ASSAYS

OZ/AU/T

22047

TR



..... Charles Avery.....
ANALYSTE / ASSAYER

LABORATOIRE MINÉRALURGIQUE 110750 CANADA INC

146, 3e AVENUE VAL D'OR, QUÉ. J9P 1R5
TÉL.: 825-5037

CERTIFICAT D'ANALYSES
CERTIFICATE OF ANALYSIS

...Ressources Vassan Inc.,.....

NO	1652
----	------

...400, 3e avenue, Val d'Or, Qué.....

ÉCHANTILLONS
SAMPLES

VAL D'OR, QUÉ. 19.....

REÇU DE
RECEIVED FROM

ANALYSES
ASSAYS

	OZ/AU/T
22048	TR
9	TR
50	TR
1	TR
2	TR
3	TR
4	TR
5	TR
6	TR
7	TR
8	TR
9	TR
60	TR
1	TR
2	.01
3	TR
4	TR
5	TR
6	TR
7	TR
8	TR
9	TR
70	TR
1	TR
2	TR
3	TR
4	TR
5	TR
6	TR
7	TR


 Charles Avery.....
 ANALYSTE / ASSAYER